

学号: 2021013149



西北农林科技大学

2025 届本科生毕业论文

摩托车驾乘人员头盔佩戴检测系统设计与实现

学院: 信息工程学院

专业: 计算机科学与技术

年级班级: 2021 级 4 班

学生姓名: 姜明宇

指导教师: 耿耀君

协助指导教师: _____

完成日期: 2025 年 5 月

本科生毕业论文的独创性声明

本人声明：所呈交的毕业论文是我个人在导师指导下独立进行的研究工作及取得的研究结果。尽我所知，除了文中特别加以标注和致谢的地方外，论文中不包含其他人已经发表或撰写过的研究成果，也不包含其他人和自己本人已获得西北农林科技大学或其它教育机构的学位或证书而使用过的材料。与我一同工作的同事对本研究所做的任何贡献均已在论文的致谢中作了明确的说明并表示了谢意。如违反此声明，一切后果与法律责任均由本人承担。

本科生签名： 时间： 年 月 日

关于本科生毕业论文知识产权的说明

本毕业论文的知识产权归属西北农林科技大学。本人同意西北农林科技大学保存或向国家有关部门或机构递交论文的纸质版和电子版，允许论文被查阅和借阅。

本人保证，在毕业离开西北农林科技大学后，发表或者使用本毕业论文及其相关的工作成果时，将以西北农林科技大学为第一署名单位，否则，愿意按《中华人民共和国著作权法》等有关规定接受处理并承担法律责任。

任何收存和保管本论文各种版本的其他单位和个人（包括作者本人）未经本论文作者的导师同意，不得有对本论文进行复制、修改、发行、出租、改编等侵犯著作权的行为，否则，按违背《中华人民共和国著作权法》等有关规定处理并追究法律责任。

本科生签名： 时间： 年 月 日

指导教师签名： 时间： 年 月 日

摩托车驾乘人员头盔佩戴检测系统设计与实现

摘要：随着经济的发展与出行需求的增长，摩托车凭借其便捷性，保有量不断增加。但由于交通管理难度增大、部分驾驶员安全意识不足等因素，涉及摩托车的交通事故也逐渐增多。头盔佩戴与否直接关系到驾乘人员在事故中的伤亡程度。本文旨在设计并实现一套摩托车驾乘人员头盔佩戴检测系统，实时检测驾乘人员的头盔佩戴情况，并对检测结果实现数据可视化。本文主要工作包含检测模型训练和系统开发两个部分。

检测模型训练方面，基于 YOLO 目标识别算法，构建了双模型协同架构：其一，专注于快速识别图像或视频中摩托车及其驾乘人员整体的头盔佩戴状态；其二，以前者输出的关键区域为输入，精准定位并识别驾驶人员 id。研究过程中，系统对比分析了 YOLOv11n、YOLOv11s 和 YOLOv11m 三个不同规模模型的训练效果，总结了不同模型适用的检测场景。

系统开发方面，基于浏览器/服务器 (B/S) 架构开发前后端分离的系统，使用 Vue 框架搭建 B 端页面，SpringBoot 框架搭建 S 端服务器。前端浏览器为用户提供头盔佩戴检测和历史记录查询两大功能。头盔佩戴检测功能允许用户自定义检测模型、检测交并比 (IoU) 和置信度，支持对检测结果的浏览和保存。历史记录查询功能支持用户对查询字段的过滤以及数据可视化。后端服务器分为目标检测和记录查询两个模块，分别用来对接前端的两大功能。目标检测模块接收用户输入的数据并调用模型进行检测，最后返回检测结果。记录查询模块根据用户输入的过滤条件查询数据库中的历史记录并返回。

关键词：目标检测; YOLO; 头盔佩戴检测; SpringBoot; Vue

Design and implementation of helmet wearing detection system for motorcycle riders

Abstract: As the economy develops and travel demand grows, the number of motorcycles rises due to their convenience. Yet, with tougher traffic management and some drivers' low safety awareness, motorcycle-related accidents are increasing. Helmet use directly impacts accident casualties. This paper designs and implements a real-time helmet-wearing detection system for motorcycle riders, visualizing detection results. Its main work covers training the detection model and developing the system.

In terms of detection model training, based on the Yolo target recognition algorithm, a dual model collaborative architecture is constructed: first, it focuses on rapid recognition of the overall helmet wearing status of motorcycles and their riders in images or videos; Second, the key area of the former output is the input, which can accurately locate and identify the driver ID. in the process of research, the training effects of three different scale models, yoov11n, yoov11s and yoov11m, are systematically analyzed, and the applicable detection scenarios of different models are summarized.

In terms of system development, the front and back-end separation system is developed based on Browser/server (b/s) architecture. The Vue framework is used to build the b-end page, and the springboot framework is used to build the S-end server. The front-end browser provides users with two functions: helmet wearing detection and history query. The helmet wearing detection function allows users to customize the detection model, IOU and confidence, and supports browsing and saving the detection results. The history query function supports users' filtering of query fields and data visualization. The back-end server is divided into two modules: target detection and record query, which are respectively used to connect the two functions of the front-end. The target detection module receives the data input by the user, calls the model for detection, and finally returns the detection results. The record query module queries the history records in the database according to the filter conditions entered by the user and returns them.

Keywords: Object Detection; YOLO; Helmet wearing detection; SpringBoot; Vue

目 录

第 1 章 绪论	1
1.1 研究目的与意义	1
1.2 目标检测发展历程	2
1.2.1 传统目标检测	2
1.2.2 基于深度学习的目标检测	3
1.3 YOLO 在交通安全领域的应用	5
1.4 研究与设计内容	6
1.5 章节安排	6
第 2 章 YOLO 算法相关理论	8
2.1 YOLOv11 网络结构	8
2.1.1 骨干网络	8
2.1.2 颈部网络	10
2.1.3 检测头	11
2.2 YOLOv11 损失函数	11
2.2.1 边界框回归损失	11
2.2.2 分类损失	12
2.2.3 分布损失	12
2.3 本章小结	12
第 3 章 数据集构建及训练参数设置	13
3.1 数据集构建	13
3.2 实验环境	15
3.3 参数设置	15
3.4 本章小结	16
第 4 章 实验结果与分析	17
4.1 评价指标	17
4.1.1 精度评价指标	17
4.1.2 速度评价指标	17
4.2 实验结果分析	18
4.2.1 头盔佩戴情况模型	18
4.2.2 驾驶员 id 模型	22
4.3 本章小结	24

第 5 章 检测系统的设计与实现	25
5.1 需求分析	25
5.2 系统整体架构	25
5.3 前端模块设计与实现	26
5.3.1 目标检测界面	26
5.3.2 记录查询界面	28
5.4 后端模块设计与实现	28
5.4.1 库表结构	29
5.4.2 检测模块	30
5.4.3 搜索模块	32
5.5 本章小结	32
第 6 章 总结与展望	34
6.1 本文工作总结	34
6.2 研究展望	34
参考文献	35
致 谢	37

第1章 绪论

1.1 研究目的与意义

在城市化进程加速和生活节奏日益加快的当下，外卖配送、即时出行等需求呈爆发式增长，摩托车凭借其小巧灵活、通行便利的特性，在全球各地的城市交通体系中占据了愈发重要的地位。无论是穿梭于大街小巷的外卖骑手，还是追求通勤效率的上班族，都将摩托车视为短途出行的优质选择。这一市场需求的增长，有力推动了摩托车产业的蓬勃发展，其保有量在全国范围内持续攀升。

随着摩托车数量的急剧增长，涉及摩托车的交通事故也逐渐增多。头盔作为摩托车驾乘人员唯一的保护装置，能够极大减少交通事故给驾乘人员带来的伤害，尽可能地保护驾驶员和乘客的生命安全(侯帅帅和欧秀丽 2023)。尽管国家出台了强制佩戴头盔的交通法规来保障骑行者的生命安全，但部分骑行者安全意识淡薄，依旧心存侥幸，不佩戴头盔就上路行驶，如图 1-1。

当前，针对摩托车驾乘人员头盔佩戴情况的监管，主要依赖交警人工检查。然而，我国道路系统错综复杂，交通流量庞大且情况瞬息万变，交警在维持交通秩序的同时，还要负责检查头盔佩戴情况，工作负担极为沉重。人工检查不仅效率低下、耗费大量人力物力，而且在复杂路况和密集车流中，极易出现漏检现象，难以确保监管工作的全面性和准确性。因此，一个摩托车驾乘人员头盔佩戴检测系统对减少人工工作量、提升检测速度和准确度有很大的意义。



图 1-1 城市道路上摩托车驾乘人员头盔佩戴情况

1.2 目标检测发展历程

目标检测是计算机视觉领域的核心任务之一，它的发展历程如图 1-2 所示。

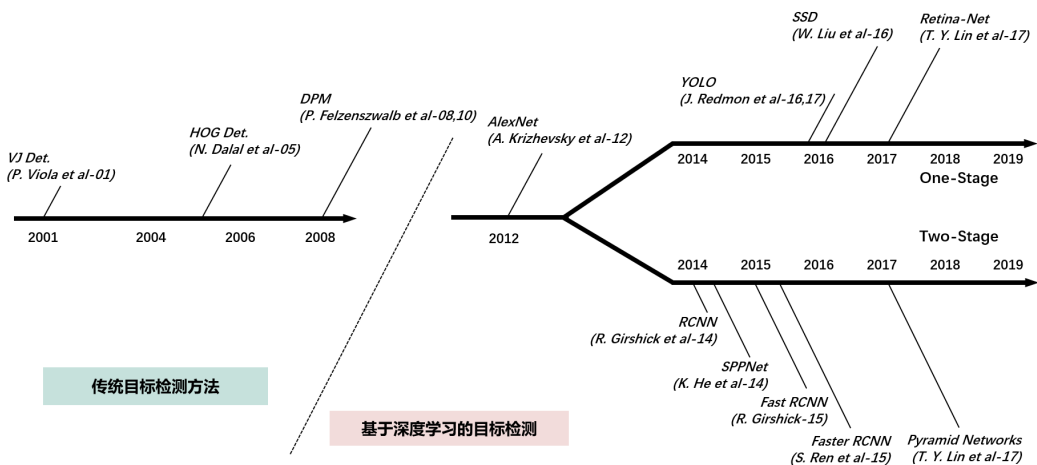


图 1-2 目标检测算法发展历程

1.2.1 传统目标检测

在深度学习兴起之前，目标检测算法高度依赖人工设计特征。受限于图像表示能力，研究者们需要设计复杂的特征表示。这一时期的代表成果深刻影响了后续目标检测技术的发展。

2001 年，Viola and Jones (2001) 首次在通用场景下实现了无约束的人脸实时检测。相较于同期算法，Viola-Jones(VJ) 检测器在保持同等检测精度的前提下，运算速度实现了数十倍乃至数百倍的提升。该检测器运用滑动窗口，对图像内所有尺寸所有位置的窗口进行遍历，判别窗口中是否存在人脸。VJ 检测器融合了“积分图像”、“特征选择”以及“检测级联”技术，大幅提升了检测效率。

Dalal 与 Triggs 于 2005 年提出方向梯度直方图 (HOG) 描述器，对当时的尺度不变特征变换和形状语境做出重要改进(Dalal and Triggs 2005)。HOG 描述器被设计为在密集的均匀间隔单元网格(区块)上计算，并使用重叠局部对比度归一化方法来提高精度。HOG 描述器的主要目标是行人检测，如若要检测不同大小的对象，则需要让 HOG 检测器在保持检测窗口大小不变的情况下，对输入图像进行多次重设尺寸。

DPM(Deformable Part Models) 在目标检测领域具有重要地位，该模型最早由 P. Felzenszwalb 在 2008 年提出(Felzenszwalb et al. 2008)，作为 HOG 检测器的延伸版本，后续经

R. Girshick 等人不断优化改进(Felzenszwalb et al. 2010)。DPM 采用“分而治之”的思想，通过检测对象的各个部件实现目标识别。

1.2.2 基于深度学习的目标检测

2012 年，Krizhevsky et al. (2012)提出了一种经典的卷积神经网络 AlexNet，它的出现对深度学习发展具有里程碑式的意义。基于深度学习的目标检测算法主要分两类：基于回归的一阶段目标检测算法与基于候选区域的两阶段目标检测算法。一阶段算法直接在图像上进行目标检测，将目标检测问题转化为回归问题，直接预测目标的类别和位置，不需要生成候选框，因此检测速度非常快，能够满足实时性要求较高的应用场景，如自动驾驶、视频监控等，代表算法有 YOLO 系列、SDD 等。两阶段算法的第一阶段是生成图像中可能包含目标的候选区域，第二阶段则是对这些候选区域进行分类和边界框回归处理，这种算法检测精度更高，但会牺牲一些检测速度。下面将对两阶段的代表算法 R-CNN 系列展开介绍，然后详细介绍本文使用到的一阶段的代表算法 YOLO 系列。

(1) R-CNN 系列算法

2014 年，Girshick et al. (2014)提出的 R-CNN 的思路为：首先通过选择性搜索(Uijlings et al. 2013) 算法来提取可能包含目标的候选框，并将候选框调整成固定大小，然后通过 AlexNet 进行特征提取，最后利用 SVM 分类器识别每个区域内的目标。尽管 R-CNN 在目标检测领域实现了突破性进展，但其局限性也较为突出。该模型需对数量众多且相互重叠的候选区域(单张图像通常生成超过 2000 个候选框)进行特征提取计算，检测速度极慢。同年，He et al. (2014)通过引入空间金字塔池化层 (SPP)，突破了传统 CNN 需要固定输入尺寸的约束，实现对任意尺寸图像生成固定长度特征表示，将检测速度提升至 R-CNN 的 20 倍以上。

2015 年，Girshick (2015)提出 Fast R-CNN 检测器，作为对 R-CNN 和 SPPNet 的进阶优化成果，其创新地实现了在同一网络配置下同步训练检测器与边界框回归器，降低了训练和推理时间，大大提升了模型的性能。

Ren et al. (2015)提出的 Faster R-CNN 检测器是第一个端到端的，也是第一个接近实时的深度学习检测器。它引入了 RPN(Region Proposal Network) 来提升检测速度和性能。RPN 用于自动生成候选区域，在性能上要比选择性搜索算法好很多，推动目标检测系统从分散模块逐步整合为统一的端到端学习架构。

(2) YOLO 系列算法

2016 年，Redmon et al. (2016)提出了 YOLO 算法，为目标检测任务提供了一种新的解决思路。其核心机制是利用单个卷积神经网络对整幅图像进行处理，将图像分割为多

个区域后，直接预测各区域的边界框与对应类别概率，并通过概率加权对边界框进行筛选，经阈值处理后输出高置信度检测结果。与两阶段的 R-CNN 系列算法相比，YOLO 算法在检测速度上有了极大的提升，但也存在一些问题：一是泛化能力弱，难以准确检测训练时未见过的新物体；二是空间约束大，每个网格单元仅预测两个框，不利于处理小目标群；三是定位误差大，经常误判物体位置。

YOLOv2 是在 YOLOv1 发布一年后推出的(Redmon and Farhadi 2017)，无论是分类还是检测，YOLOv2 都比其前身 YOLOv1 有了很大的改进。YOLOv2 的创新点是提出了一种独特的联合训练算法，该算法能够同时利用检测数据与分类数据对目标检测器进行训练。通过标记检测图像学习目标精确定位，借助分类图像扩展模型识别类别范围、增强鲁棒性。

YOLOv3(Redmon and Farhadi 2018) 基于 YOLOv2 进行改进与创新，实现了性能突破：一方面，YOLOv3 修正了 YOLOv2 的数据加载缺陷，使模型平均精度均值 (mAP) 提升了两个点；另一方面，YOLOv3 引入多尺度预测架构 (三尺度特征金字塔) 优化跨尺寸目标检测能力，并采用 Darknet-53 骨干网络，在 COCO 数据集上实现了精度与速度的平衡。

相较于 YOLOv3，YOLOv4(Bochkovskiy et al. 2020) 在骨干网络和颈部网络两个关键环节进行了创新升级：骨干网络层面，摒弃原有架构，采用 CSPDarknet53 作为新的骨干网络，通过跨阶段部分网络 (CSPNet) 策略优化特征提取；颈部结构上，改进空间金字塔池化 (SPP) 与路径聚合网络 (PAN) 的引入，进一步强化多尺度特征融合能力。

YOLOv5 较 YOLOv4 在易用性上实现了提升。除了性能上面一些微小的提升之外，YOLOv5 基于 PyTorch 框架重构代码，简化了模型的部署，同时提供了更详尽的多语言文档支持，降低开发门槛。

YOLOv6 是 YOLO 系列中的一次重大演变，由美团视觉团队开发(Li et al. 2022)。YOLOv6 对 YOLOv4 和 YOLOv5 里的 PAN 拓扑结构进行了强化，借助 RepBlocks 与 CSPStackRep Blocks，更高效地从骨干网络的不同层级聚合特征。除此之外的创新还有：通过硬件感知架构设计与动态训练策略的协同创新，在速度精度平衡与部署效率层面实现突破性进展；核心架构采用 EfficientRep 主干网络，基于 RepVGG 重参数化思想构建分层模块化结构，显著提升 GPU 推理效率；特征融合模块重构为 Rep-PAN 拓扑，通过重参数化卷积增强跨尺度信息流，并结合解耦式预测头缩减冗余计算。

YOLOv7 基于 YOLOv6 提出了一系列细粒度的改进(Wang et al. 2022)。提出计划的重新参数化模型，将梯度传播路径概念应用于不同网络层；针对多输出层模型训练，引入由粗到细的引导标签分配的新方法；为对象检测器提出“扩展”和“复合缩放”方法，有效利用参数和计算。这些改进和优化策略，在不牺牲速度的情况下显著提高了准确率，

是 YOLO 系列的重要进步。

相较于之前的 YOLO 版本，YOLOv8 在准确度和速度方面实现了更优的性能，延续了 YOLOv5 用户友好的特点，进一步增强了易用性。YOLOv8 采用无锚分割 Ultralytics head，提升了检测的准确性与速度。YOLOv8 由 Ultralytics 维护，提供了针对检测、分割、分类和姿势检测等特定任务的多种专用模型。

相较于前代模型，2024 年提出的 YOLOv9 采用全新思路，解决了深度神经网络信息丢失的问题(Wang, Bochkovskiy, et al. 2024b)。YOLOv9 的核心创新在于两大关键技术：一方面，引入可编程梯度信息 (PGI)，通过辅助可逆分支完整保留输入信息，为目标函数计算提供充足依据，确保梯度更新更精准有效；另一方面，提出广义高效层聚合网络 (GELAN)，作为 ELAN 架构的通用轻量化版本，基于梯度路径规划设计，最大化网络信息流，高效整合特征信息辅助预测。

同为 2024 年提出的 YOLOv10 相较于前代模型，刷新/了速度与准确度上限，实现了真正的实时检测(Wang, Bochkovskiy, et al. 2024a)。YOLOv10 的核心创新在于：一是采用 NMS-Free 检测，基于双重标签分配（一对多和一对一）及一致匹配度量的训练策略，推理时仅用一对 one head，提升推理速度、简化部署、增强训练监督；二是运用整体效率-准确度驱动设计，通过轻量级分类 head、空间通道解耦下采样和等级引导块设计，在优化模型各组件的同时有效降低计算成本。

2024 年 9 月发布的 YOLOv11 历经一系列架构改良，聚焦于在无损检测准确性的前提下，全力提升计算效率。YOLOv11 创新性地引入了 C3k2 模块与 C2PSA 块等关键组件。C3k2 模块作为跨阶段部分 (CSP) 瓶颈的高效计算实现，取代了骨干网络和颈部网络中的 C2f 块。C2PSA 块紧跟 SPPF 模块之后，这种全新的注意力机制，使模型能够更为高效地聚焦于图像内的关键区域，精准识别目标物体。YOLOv11 的网络架构将在下一章进行详细介绍。

1.3 YOLO 在交通安全领域的应用

YOLO 系列算法凭借出色的检测速度和准确性在交通安全领域得到了广泛的应用。在车辆检测、行人检测以及道路检测方面均表现出强大的应用潜力。

在车辆检测方面，张浩晨等 (2025) 基于 YOLOv8 算法，提出了结合 Transformer 结构全局特征提取能力的模块 C2Former 代替 C2f 模块，提升了算法在小目标、遮挡目标等场景下对交通车辆检测的精度。Raza et al. (2024) 针对雾天场景下的车辆检测需求，引入注意力模块 (CBAM、NAM、SimAM) 和 BiFPN 结构优化 YOLO-V5s/V5l，并对比了 YOLO-V5/V8 系列模型的性能，优化了算法在雾天中对车辆的检测性能。

在行人检测方面，Wang, Yang, et al. (2024) 基于 YOLOv7 将 ELAN-SA 模块与 LGA 模

块相结合，增强了特征提取能力，在遮挡和小目标行人检测方面表现出很强的性能。[袁婷婷等\(2025\)](#)基于 YOLOv11，融合 RepConv 来改进 C3k2 模块，设计全新的颈部结构 MBFPN，提升行人特征提取与融合能力，提出了复杂场景下的轻量化行人检测算法。

在道路检测方面，[秦乐等\(2025\)](#)提出基于 YOLOv8n 的轻量化改进算法 EMF-YOLO，通过引入增强型特征融合金字塔 EFPN、可变形注意力机制和多尺度边缘敏感性增强模块 MESA 等，在提高对道路缺陷检测精度的同时实现了较好的轻量化性能。

YOLO 算法凭借其高效性与准确性，已在交通、工业、医疗等多个领域发挥其作用，提供了精准的实时监测能力，推动各个行业的智能化发展。

1.4 研究与设计内容

本文旨在设计并实现一套摩托车驾乘人员头盔佩戴检测系统，工作分为两个部分：模型训练和系统开发。

在模型训练阶段，主要开展两方面工作：一是优化数据标注，针对驾驶员及最多三名乘客（训练数据集中，最多只出现了一名驾驶员携带三名乘客）各自的头盔佩戴情况，细化设置了 18 个标签，相较于传统二分类标注，能提供更详尽的头盔佩戴信息；二是训练两个关键模型，分别用于识别摩托车驾乘人员的头盔佩戴状态，以及驾驶员 id。训练过程中，采用 YOLOv11n、YOLOv11s 及 YOLOv11m 三种模型训练来比较效果，并通过调整训练轮次（epoch）优化检测精度。

系统基于浏览器/服务器（B/S）架构开发。B 端浏览器为用户提供了两个操作页面，一个是用于上传图片或视频以请求检测的页面，用户可通过该页面发起检测需求；另一个是数据查询页面，用户能从该页面向服务端数据库发送历史检测结果查询请求，还可以对驾驶人、记录时间、记录地点等字段进行过滤。查询得到的结果会以柱状图、折线图等可视化的形式在页面呈现，为后续制定执法策略提供数据支持。S 端服务器负责处理浏览器传来的请求，当接收到用户上传的图片或视频后，先利用第一个模型预测图片中的头盔佩戴情况，之后对目标区域进行裁剪，再使用第二个模型检测目标区域的驾驶人员，最后将检测结果保存到数据库中。[图 1-3](#)和[图 1-4](#)表示了输入图片和检测结果。

1.5 章节安排

本文共包含六个章节，每一章的主要内容如下：

第一章：绪论。本章首先介绍了本文的研究目的与意义，对目标检测的发展历程进行概述，详细介绍了 YOLO 系列算法的发展过程及其在交通安全领域的应用现状，最后说明了本文的研究内容。

第二章：YOLO 算法相关理论。本章主要介绍了 YOLOv11 算法的网络结构和损失函数。网络结构方面主要介绍主干网络、颈部网络和检测头。损失函数主要介绍边界框



图 1-3 选择图片



图 1-4 检测结果

回归损失函数、分类损失函数和分布损失函数。

第三章：数据集构建及训练参数设置。本章介绍了本文的数据集来源以及为解决类别不平衡对数据集做的增强处理，分析了增强之后的标签数量分布情况，然后介绍了本文的实验环境和训练参数设置。

第四章：实验结果与分析。本章首先介绍了本文使用到的目标检测模型检测精度和速度两方面的评价指标，展示了 YOLOv11n、YOLOv11s 和 YOLOv11m 这三个模型的训练结果，对比分析了上述三个模型的损失函数、精度、召回率、mAP 以及检测速度。并总结了不同模型各自适用的场景。

第五章：检测系统的设计与实现。本章主要介绍了检测系统的软件设计与开发过程。从需求分析、系统架构、前端开发和后端开发这四个方面展开。

第六章：总结与展望。本章为本文的最后一张，对本文所做的工作进行总结，并展望目标检测技术在交通安全领域的未来的发展情况。

第2章 YOLO 算法相关理论

2.1 YOLOv11 网络结构

YOLOv11 的网络架构采用骨干网络-颈部网络-检测头的分层设计。通过模块化的结构创新与技术融合，在兼顾检测速度的同时显著提升了目标识别的精度与鲁棒性。骨干网络作为特征提取的基石，引入 C3K2 模块、SPPF(快速空间金字塔池化) 和 C2PSA(具有注意力机制的卷积模块) 组件，实现了高效的底层特征提取；颈部网络将 C2F 模块替换为了 C3K2 模块，提升了特征聚合过程的整体性能，通过 C2PSA 模块增强了对空间注意力机制的关注；检测头负责生成目标检测和分类的最终预测，它处理从颈部网络传递过来的特征图，最终输出图像中目标的边界框和类别标签。**图 2-1**展示了 YOLOv11 的网络结构。

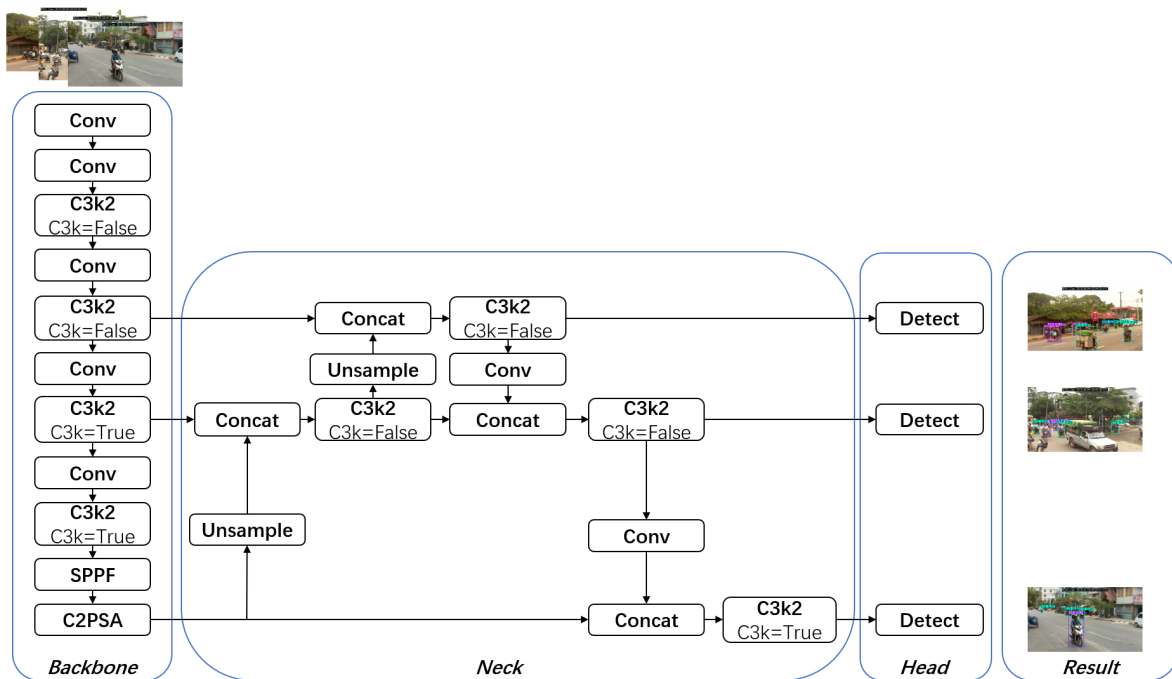


图 2-1 YOLOv11 网络模型

2.1.1 骨干网络

YOLOv11 的骨干网络是整个架构的核心特征提取模块，包含 Conv、C3K2、SPPF 和 C2PSA 模块。

Conv 卷积模块，在目标检测模型里起到特征提取的作用。Conv 模块的处理步骤可以概括为数据准备、参数配置、卷积运算和非线性激活四步。Conv 模块的输入通常是 (B, C, W, H) 四维张量， B 表示训练批次； C 表示数据通道数，彩色 RGB 图像的通道数

为 3; W 和 H 分别表示输入图像的宽和高。参数配置需要设置卷积层的核心参数，包括卷积核、步长 (stride)、填充 (padding)，卷积核决定特征提取的局部感知范围，步长控制卷积核滑动间隔以实现下采样，填充通过边界补零调整输出尺寸以及输出通道数。卷积运算这一步将配置好的卷积核应用于输入数据，通过滑动窗口对每个局部区域进行加权求和，实现特征提取。非线性激活应用 ReLU、silu 等激活函数引入非线性变换，使模型能够学习复杂模式，最终输出处理后的特征图用于后续层的计算。

C3K2 模块用来处理骨干网络不同阶段的特征提取。C3K2 模块是早期版本中引入的 CSP(Cross Stage Partial) Bottleneck 的演变。C3K2 模块通过分割特征图，并应用一系列较小的 (3×3) 卷积核进行卷积操作，优化了网络中的信息流，这些卷积比较大的卷积核更快，计算成本更低。与 YOLOv8 的 C2F 模块相比，C3K2 模块能够以更少的参数提升特征表示能力。C3K2 模块使用 C3K 模块来处理信息。它在开始和结束时各有一个 Conv 模块，中间是一系列的 C3K 模块。将起始 Conv 模块的输出与最后一个 C3K 模块的输出进行拼接，并以一个最终的 Conv 模块结束。这个模块借助 CSP 结构，致力于在速度和准确性之间保持平衡。C3K 模块的结构与 C2F 模块类似，但在此模块中不会进行分割操作。输入数据先经过一个卷积模块，随后经过一系列 Bottleneck，并以最终的 Conv 块结束。这三个模块的结构如图 2-2 所示。

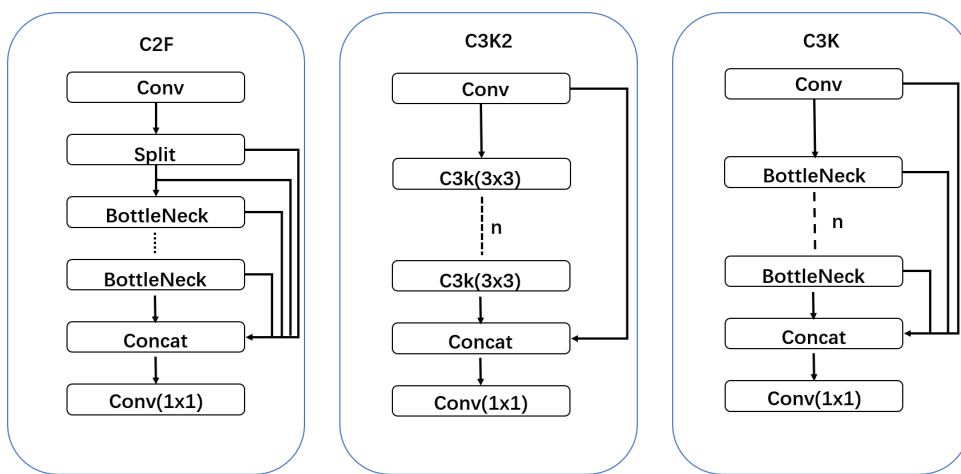


图 2-2 C2F 和 C3K2 模块的比较

SPPF(Spatial Pyramid Pooling - Fast) 模块是对 SPP(Spatial Pyramid Pooling) 模块的改进，主要用于增强模型对不同尺度目标的检测能力，其结构如图 2-3 所示。SPPF 模块接收 C3K2 模块输出的特征图，对特征图同时应用多个不同大小的最大池化操作 (MaxPool)，

然后将原始特征图和所有池化后的特征图在通道维度上拼接，形成更丰富的多尺度特征表示，最后通过 1×1 卷积压缩拼接后的特征通道数，减少计算量。

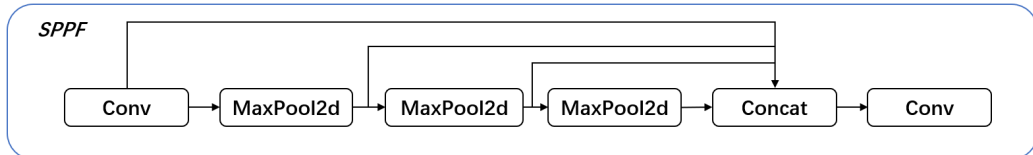


图 2-3 SPFF 模块结构

该模块借助不同大小的最大池化核来提取不同尺度的特征，然后将这些特征进行拼接，从而使模型能捕捉到不同尺度的目标信息。通过融合多尺度特征，模型能够更好地检测出不同大小的目标，进而提高检测精度。

C2PSA 模块是 YOLOv11 的一大创新点，该模块结构如图 2-4 所示。此模块引入了注意力机制，提高模型对图像中重要区域(例如较小或部分遮挡的对象)的关注。C2PSA 模块中的 Position-Sensitive Attention 封装了对输入张量应用位置敏感注意力和前馈网络的功能，提升了特征提取和处理能力。C2PSA 模块采用两个 PSA(Partial Spatial Attention) 模块，分别处理特征图分支后再拼接，类似 C2F 模块结构。这种设置在兼顾计算成本与检测精度的同时，让模型聚焦空间信息，使 YOLOv11 在需关注物体细节以实现精确检测的场景中优于 YOLOv8 等版本。

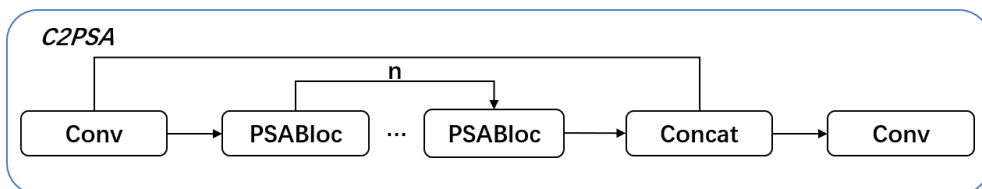


图 2-4 C2PSA 模块结构

2.1.2 颈部网络

颈部网络由多个 Conv 卷积层、C3K2 模块、Concat 操作和上采样模块组成，并结合了 C2PSA 机制的优势。颈部网络的主要作用是聚合不同尺度的特征，并将其传递给检测头。

Conv 模块对特征图进行卷积运算，一方面可以调整特征图的通道数，使不同特征图在拼接前通道数匹配；另一方面能进一步提取特征，增强特征表达。C3K2 模块应用了一

系列较小的卷积核，以更少的参数提升特征表示能力。Concat 模块沿着通道维度将多个特征图合并在一起，可以融合不同尺度或不同来源的特征信息，增加特征的丰富度。上采样模块通常采用插值等方法增大特征图的尺寸，使特征图尺寸与其他分支匹配，方便后续的特征融合操作，让模型能结合不同尺度的特征进行检测。

颈部网络接收骨干网络不同层级输出的特征图，一些特征图会先经过 Unsample 上采样操作，使其尺寸与其他待拼接特征图一致，然后再进行 Concat 拼接。拼接后的特征图，再次经过若干 C3K2 模块和 Conv 卷积层，进一步融合与提炼特征，这个过程会产生不同尺度的特征图，最后将这些特征图传递给检测头，用于目标分类和定位。

2.1.3 检测头

与早期的 YOLO 版本类似，YOLOv11 使用多尺度预测头来检测不同大小的对象。头部使用由主干网络和颈部网络生成的特征映射输出三种不同比例（低、中、高）的检测框。检测头会输出来自三个特征映射（通常来自 P3、P4 和 P5）的预测，对应于图像中的不同粒度级别。这种方法可以确保在更精细的细节（P3）中检测到较小的对象，而在更高级别的特征（P5）中捕获较大的对象。

2.2 YOLOv11 损失函数

YOLOv11 的损失函数通常由三部分构成：边界框回归损失 (BBox Loss)、分类损失 (Classification Loss) 和分布损失 (Distribution Focal Loss, DFL)。

2.2.1 边界框回归损失

边界框回归损失函数为式 (2-1)，用于优化预测边界框与真实边界框之间的差异。

$$\text{Box Loss} = \lambda_{\text{coord}} \sum_{i=0}^{S^2} \sum_{j=0}^B \mathbb{1}_{ij}^{\text{obj}} ((x_i - \hat{x}_i)^2 + (y_i - \hat{y}_i)^2) \quad (2-1)$$

$$+ \lambda_{\text{coord}} \sum_{i=0}^{S^2} \sum_{j=0}^B \mathbb{1}_{ij}^{\text{obj}} \left((\sqrt{w_i} - \sqrt{\hat{w}_i})^2 + (\sqrt{h_i} - \sqrt{\hat{h}_i})^2 \right)$$

$$(x_i - \hat{x}_i)^2 + (y_i - \hat{y}_i)^2 \quad (2-2)$$

$$(\sqrt{w_i} - \sqrt{\hat{w}_i})^2 + (\sqrt{h_i} - \sqrt{\hat{h}_i})^2 \quad (2-3)$$

式 (2-1) 中， S 是网格的大小， B 是每个网格单元预测的边界框数量， $\mathbb{1}_{ij}^{\text{obj}}$ 表示第 i 个网格单元中第 j 个边界框是否负责预测目标。 x, y 是边界框中心点的坐标。 w, h 是边界框的宽度和高度。 λ_{coord} 是权重系数，用于平衡不同部分的损失。

式(2-2)衡量了预测边界框与真实边界框中心点之间的欧几里得距离平方，促使预测中心尽可能接近真实中心。式(2-3)衡量了预测边界框与真实边界框的宽度和高度之间的差异。对宽度和高度取平方根减小了大尺寸边界框的影响，避免掩盖小尺寸边界框。

2.2.2 分类损失

分类损失函数见式(2-4)，其核心作用是衡量模型对目标类别的预测准确性，并指导模型通过优化算法（如梯度下降）调整参数，从而提升分类性能。

$$\text{Classification Loss} = \sum_{i=0}^{S^2} \mathbb{1}_i^{\text{obj}} \sum_{c \in \text{classes}} (p_i(c) - \hat{p}_i(c))^2 \quad (2-4)$$

S 是网格的大小。 $\mathbb{1}_i^{\text{obj}}$ 表示第 i 个网格单元是否包含目标。 $p_i(c)$ 是模型预测的第 i 个网格单元中目标属于类别 c 的 $\hat{p}_i(c)$ 是真实的标签，表示第 i 个网格单元中目标是否属于类别 c 。分类损失函数确保模型能正确识别图像中目标所属类别，最小化分类损失，使模型可处理多类别目标检测任务，提升模型分类准确性，助力模型学习类别特征差异，提高整体检测性能。

2.2.3 分布损失

在目标检测中，经常会出现类别不平衡的问题，即其中某些类别的样本数量远多于其他类别，这有可能导致模型对常见类别的学习效果很好，但对少数类别的学习效果略差。分布损失函数的主要目的是解决目标检测中类别不平衡的问题，增强模型对困难样本的学习能力，并提升模型对少数类别检测性能。DFL 损失函数公式为式(2-5)。

$$\text{DFL} = - \sum_{i=1}^N \sum_{c=1}^C y_{ic} (\alpha(1 - p_{ic})^\gamma \log(p_{ic}) + (1 - \alpha)p_{ic}^\gamma \log(1 - p_{ic})) \quad (2-5)$$

N 是样本数量。 C 是类别的数量。 y_{ic} 是第 i 个样本的真实标签(one-hot 编码，只有一个元素为 1，其余为 0)。 p_{ic} 是第 i 个样本属于类别 c 的预测概率。 α 是平衡因子，用于调整正负样本之间的权重。 γ 是聚焦参数，用于控制对困难样本的关注程度。

2.3 本章小结

本章围绕 YOLOv11 算法相关理论展开，系统阐述了 YOLOv11 的网络结构，主要介绍了骨干网络、颈部网络和检测头，并对 YOLOv11 中三个重要的损失函数做了详细的分析。

第3章 数据集构建及训练参数设置

3.1 数据集构建

本文所使用的摩托车驾乘人员头盔佩戴情况数据集来源于缅甸真实的交通道路照片。本文首先使用 LabelImg 工具对数据集进行标注，生成 xml 格式的标注文件，再转换成 YOLO 格式的 txt 标注文件。YOLO 所使用的 txt 标注文件的格式如表 3-1 所示，文件的每一行有五个元素， class 代表当前目标的类别， x_center(y_center) 代表边界框中心点的 x(y) 坐标，相对于图像宽度(高度)的归一化值， width(height) 代表边界框的宽度(高度)相对于图像宽度(高度)的归一化值。上述五元组能够表示某一个类别的目标在图像中的位置。

表 3-1 YOLO 数据标注格式

class	x_center	y_center	width	height
5	0.18229123	0.72314815	0.09270814	0.19629641
14	0.40755224	0.68564817	0.05677574	0.18796234
15	0.84505233	0.61064834	0.04947934	0.12587944

本文的原数据集包含 5661 张摩托车驾乘人员头盔佩戴情况图片，由于其中某些类别的样本数据非常少，对包含这些标签的原图片进行了图像增强，保证每一个类别至少有 100 张样本图片。具体的增强方法如图 3-1 所示。

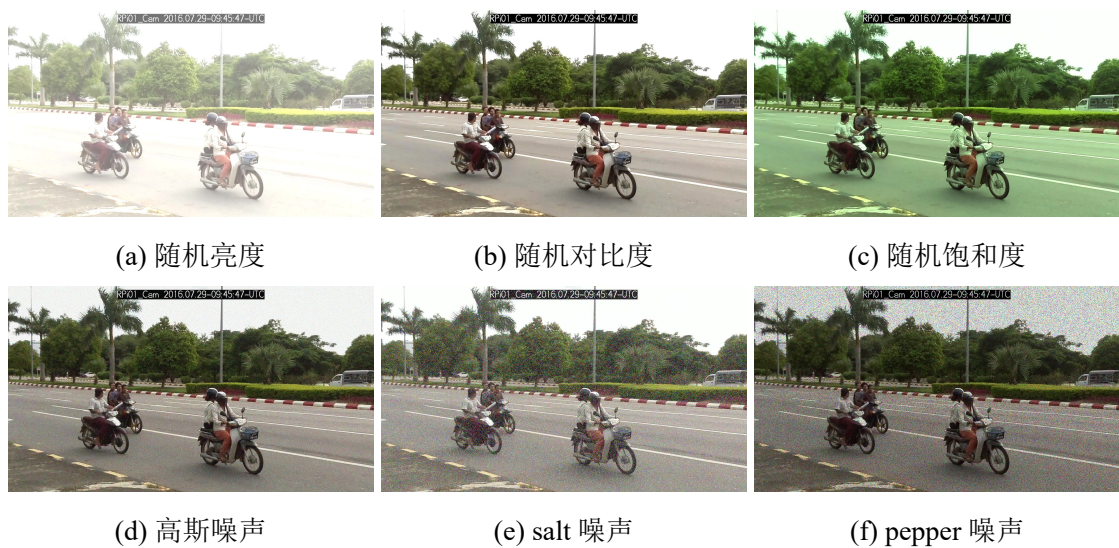


图 3-1 图像增强方式

对原数据集进行增强之后，共有 6282 张图片，以 7:2:1 的比例，随机将图片划分为训练集、验证集和测试集。本文将目标类别分为 18 类，标签为 S01-S18，其对应关系以及含

义如表 3-2 所示，其中 meaning 一列命名规则为：D(Driver) 代表摩托车驾驶员，P(Partner) 代表乘车人员。P1 代表驾驶员身后的一名乘车人员，P2 代表驾驶员身后的另一名乘车人员，P0 代表驾驶员身前的乘车人员（在原数据集中，某些小朋友会坐在驾驶员身前）。而 D、P0、P1 和 P2 后面紧跟着该乘车人员的头盔佩戴情况，Helmet 代表已佩戴头盔，NoHelmet 代表未佩戴头盔。例如，标签为 S09 的含义为 DNoHelmetP0NoHelmetP1NoHelmet，表示摩托车驾驶员未佩戴头盔，驾驶员身前的乘车人员未佩戴头盔，驾驶员身后的一名乘车人员未佩戴头盔。

表 3-2 目标类别标签含义

class	label	meaning
0	S01	DHelmetP1NoHelmetP2NoHelmet
1	S02	DNoHelmetP1NoHelmetP2NoHelmet
2	S03	DHelmetP0NoHelmetP1NoHelmet
3	S04	DNoHelmetP1NoHelmet
4	S05	DHelmetP0NoHelmet
5	S06	DNoHelmet
6	S07	DNoHelmetP1NoHelmetP2Helmet
7	S08	DHelmetP1NoHelmet
8	S09	DNoHelmetP0NoHelmetP1NoHelmet
9	S10	DNoHelmetP1Helmet
10	S11	DHelmetP0NoHelmetP1Helmet
11	S12	DNoHelmetP0NoHelmetP1NoHelmetP2NoHelmet
12	S13	DHelmetP1NoHelmetP2Helmet
13	S14	DNoHelmetP0NoHelmet
14	S15	DHelmet
15	S16	DHelmetP1Helmet
16	S17	DHelmetP0Helmet
17	S18	DHelmetP1HelmetP2Helmet

18 个类别的样本数量分布如图 3-2 所示，可以看出 S15 标签数量最多，共 6742 个，其表示单一驾驶员佩戴头盔；S06 标签数量次之，共 6346 个，其表示单一驾驶员未佩戴头盔，二者实例数量远高于其他标签。说明单一驾驶员驾驶摩托车是最常出现的情况，且佩戴头盔要比不佩戴头盔的情况稍多一些。除上述两个标签之外，S16 和 S04 是数量最多的两个标签，S16 标签共 3296 个，表示驾驶员和身后的一名乘客都佩戴头盔；S04 标签共 2503 个，表示驾驶员和身后的一名乘客都未佩戴头盔。其余标签相对较少，数量都在 1000 以内。

由表中数据可以看出，单一驾驶员驾驶摩托车的情况出现次数最多，其次是驾驶员携带一名乘客的情况。并且不管是单一驾驶员，还是驾驶员携带一名乘客，佩戴头盔的情况均多于不佩戴头盔的情况。

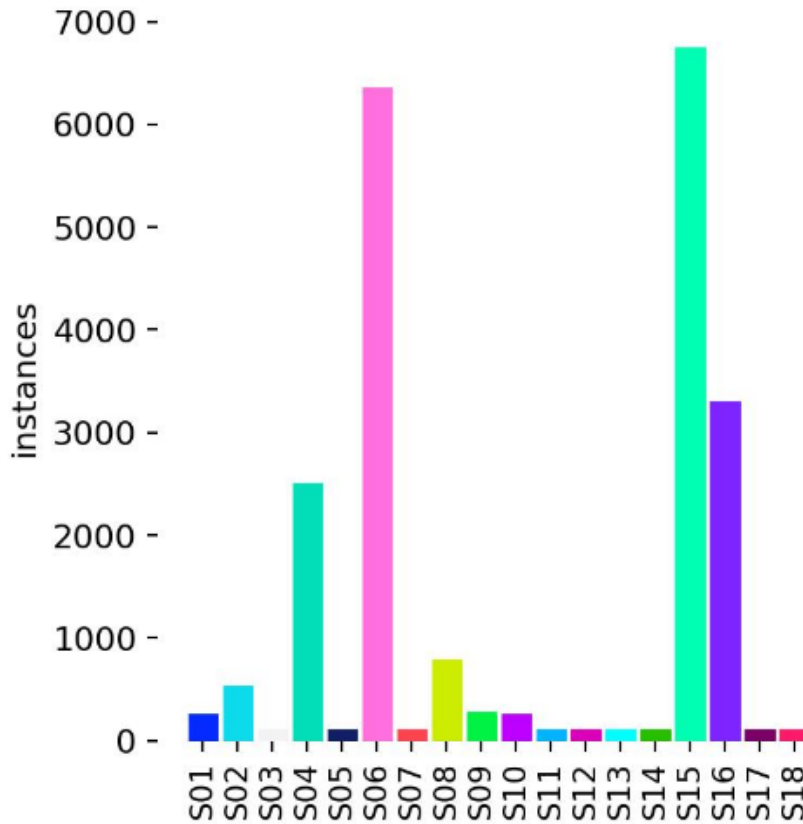


图 3-2 头盔佩戴情况标签数量分布

对原数据集 5661 张图片中的每一个驾驶员目标框进行裁剪，得到 33571 张包含驾驶员信息的图片，共有 570 个不同驾驶员。由于驾驶员的图片样本也存在不平衡的情况，对这 33571 张图片同样进行图像增强，保证每一个驾驶员都至少有 100 张样本图片。

3.2 实验环境

操作系统：Ubuntu 20.04.3 LTS (Focal Fossa)

CPU：Intel(R) Xeon(R) Gold 5318Y CPU @ 2.10GHz

内存：1.5T

GPU：NVIDIA A40

显存：48G

CUDA 版本：12.2

Pytorch 版本：2.7.0+cu126

3.3 参数设置

本文分别使用 YOLOv11n.pt、YOLOv11s.pt、YOLOv11m.pt 进行训练，参数设置见表 3-3。本文进行头盔佩戴情况检测模型训练时，共有 18 个标签，在 yaml 文件里 nc 设置

为 18。在训练模型中，将 batch 设置为 16，输入图像的 size 默认设置为 640x640，epochs 设置为 300。degrees 设置为 20，在指定度数范围内随机旋转图像，提升模型对摄像头拍摄到的不同角度的图像的识别能力。hsv_v 设置为 0.6，将图像的亮度修改一部分，模拟不同的光照环境。translate 设置为 0.2，将图像进行水平和垂直平移，有助于检测部分可见物体。

表 3-3 参数设置

param	value	meaing
nc	18	类别数量
batch	16	训练批次
size	640x640	输入图像的尺寸
epochs	300	训练轮数
degrees	20	控制图像随机旋转的度数范围
hsv_v	0.6	控制图像亮度调整幅度
translate	0.2	控制图像在水平和垂直方向上的平移程度

3.4 本章小结

本章主要介绍了原数据集的状况以及后续处理过程，展示了需要训练的两个模型的标签及其数量分布。简要介绍了实验环境以及训练的参数设置，说明了本文将基于 YOLOv11 的三个不同量级的模型进行训练，比较各自的性能。

第4章 实验结果与分析

4.1 评价指标

4.1.1 精度评价指标

本文使用到的评价目标检测模型精度的指标有精度 (Precision)、召回率 (Recall)、平均精度 (Average Precision, AP) 及平均精度均值 (mean Average Precision, mAP)。

精度 (Precision) 和召回率 (Recall)，是衡量模型预测准确性与完整性的核心指标。精度的定义如式 (4-1)，其中 TP 表示模型预测为正例，且实际标签也是正例，FP 表示模型将负例误判为正例。精度数值越大，表明 FP 值越小，反映出模型预测结果中真正正例的占比更高，误检更少，预测的准确性更好。召回率 (Recall) 的定义如式 (4-2)，TP 同精度公式中的 TP，FN 表示模型漏掉的正例。召回率数值越大，代表 FN 值越小，说明模型对实际正例的捕捉能力更强，能够找到更多的正例样本。

$$Precision = \frac{TP}{TP + FP} \quad (4-1)$$

$$Recall = \frac{TP}{TP + FN} \quad (4-2)$$

P-R 曲线即为分别以 Precision 与 Recall 为坐标围成的曲线，平均精度 (AP) 通过计算各类别 P-R 曲线与坐标轴所围成区域的面积来衡量模型性能。从几何意义上讲，若模型的 AP 值越高，意味着其 P-R 曲线与坐标轴所围合的区域面积越大，直观反映出该模型在精度 (Precision) 与召回率 (Recall) 两个关键指标上的综合表现更好，在整体数据预测中能够同时实现较高的正例预测纯度与正例捕捉能力。平均精度均值 (mAP) 是对所有类别的 AP 求平均值，用于反映整个模型的准确率。在 YOLO 模型中，常见的 mAP 评价指标有 mAP50 和 mAP50-95。mAP50 为 IoU 阈值设为 0.5 时，所有类别的平均精度均值。mAP50-95 为 IoU 阈值从 0.5 到 0.95(间隔 0.05 递增) 的多个严格标准下，分别计算 mAP，再取平均值。

4.1.2 速度评价指标

本文使用到的评价目标检测模型速度的指标有每秒帧率和 FLOPs。每秒帧率 (Frame Per Second, FPS)，即每秒内可以处理的图片数量，能够衡量模型的实时性，FPS 越高，实时性越强。FLOPs 表示浮点运算量，它衡量了模型在进行一次前向传播 (推理) 过程中所执行的浮点运算次数，FLOPs 越低，理论速度越快，但并不直接等于实际速度。

4.2 实验结果分析

4.2.1 头盔佩戴情况模型

本文基于 YOLOv11n、YOLOv11s 和 YOLOv11m 三个模型，各训练了 300 个 epoch，头盔佩戴情况模型训练结果如图 4-1 所示。下面对边界框回归损失 (box_loss)、分类损失 (cls_loss)、分布损失 (dfl_loss)、精度 (precision)、召回率 (recall)、mAP50 和 mAP50-95 这七个指标进行详细对比分析。

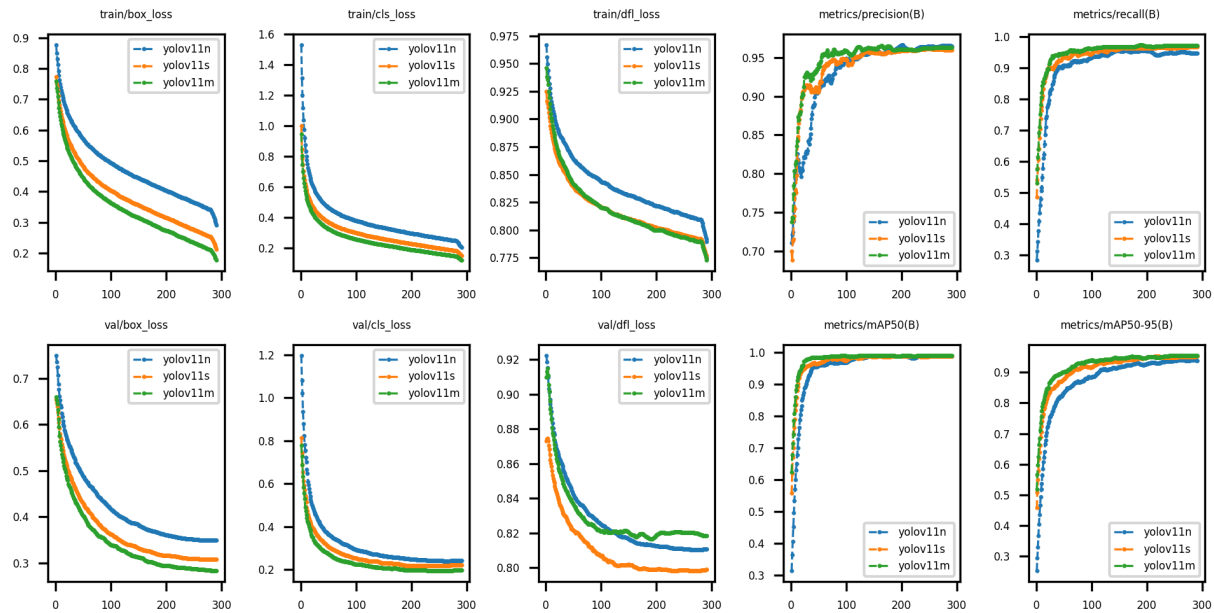


图 4-1 头盔佩戴情况模型训练结果

边界框回归损失: 三个模型的边界框回归损失值均随训练轮数的增加呈现下降趋势。YOLOv11n 下降趋势相对较缓，YOLOv11s 和 YOLOv11m 前期下降速度较快且相近，在训练进行大约 50 轮之后，YOLOv11m 下降速度略快于 YOLOv11s，说明 YOLOv11m 在边界框回归损失的收敛上最具优势。在训练后期，YOLOv11m 的边界框回归损失最终值最低，YOLOv11s 次之，YOLOv11n 相对较高。这表明 YOLOv11m 在边界框定位的准确性上表现更好。

分类损失: 三个模型分类损失收敛趋势相似，均在前期快速下降，后期平稳下降。前期 YOLOv11n 下降稍快，YOLOv11s 与 YOLOv11m 相近。中期 YOLOv11s 和 YOLOv11m 的下降速度与 YOLOv11n 相似，后期三者收敛速度相近。YOLOv11m 最终的分类损失值最低，YOLOv11s 和 YOLOv11n 相对较高且较为接近，意味着 YOLOv11m 在分类任务上的准确性更高。

分布损失: YOLOv11s 与 YOLOv11m 整体收敛趋势相似，前期都比 YOLOv11n 收敛

速度略快，后期三者收敛速度近似。YOLOv11s 与 YOLOv11m 达到的最优值近乎相同，且都比 YOLOv11n 的最优值更好。

精度：三个模型精度均随训练轮数增多呈上升趋势。YOLOv11s 和 YOLOv11m 前期上升速度较快且相近，YOLOv11n 稍慢；后期三者趋势相似。YOLOv11m 达到的精度最优值最高，YOLOv11s 次之，YOLOv11n 相对较低，表明 YOLOv11m 在预测准确程度上表现更优。

召回率：YOLOv11s 与 YOLOv11m 前期收敛趋势相同且均比 YOLOv11n 收敛速度快；后期三者都逐渐趋于平稳。YOLOv11m 召回率最优值最高，YOLOv11s 与之接近，YOLOv11n 相对较低。说明 YOLOv11m 在捕捉正例样本能力上表现最好。

mAP50：YOLOv11s 和 YOLOv11m 的 mAP50 值在训练前期上升迅速，YOLOv11n 稍慢；中后期 YOLOv11m 率先趋于稳定，YOLOv11s 次之。三个模型的 mAP50 最优值近似，意味着三者在 IoU 阈值为 0.5 时平均精度近似。

mAP50-95：YOLOv11s 和 YOLOv11m 前期收敛速度快且相近，YOLOv11n 比较缓慢；后期 YOLOv11m 收敛更平稳，更快达到较高精度水平。YOLOv11m 的 mAP50-95 最优值最高，YOLOv11s 与之相近，YOLOv11n 较低。表明 YOLOv11m 与 YOLOv11s 在不同 IoU 阈值下平均精度综合表现都比较好。

根据训练结果中的 csv 文件，能够得到各项指标在每一轮训练中的精确值，上述指标在训练过程中的最优值的对比如表 4-1 所示。从表格呈现的趋势来看，随着模型规模增大，三个损失函数的收敛速度更快，最终达到的损失值更低。其余四项指标，除检测精度外，召回率、mAP50 和 mAP50-95 三项指标都随模型规模增大表现更优。

表 4-1 模型损失函数与检测精度指标对比 1

Model	box_loss (%)	cls_loss (%)	dfl_loss (%)	Precision (%)	Recall (%)	mAP50 (%)	mAP50-95 (%)
YOLOv11n	28.4	20.2	78.6	96.7	96.6	99.0	94.1
YOLOv11s	20.5	14.7	77.2	96.2	97.2	99.0	95.4
YOLOv11m	17.1	11.8	77.1	97.3	98.1	99.1	95.5

除了检测精度，模型的推理速度与计算复杂度同样是衡量性能的关键要素，表 4-2 对比了 YOLOv11n、YOLOv11s 和 YOLOv11m 三个版本基于实测数据的 FPS 与 FLOPs 数值。对于 FPS 指标，YOLOv11n 的值最高，达到 41.67，意味着该模型每秒能够处理 41.67 帧图像，实时性最强；YOLOv11s 的 FPS 为 36.63，仅次于 YOLOv11n；YOLOv11m 的 FPS 最低，为 31.75。由此可见，随着模型规模增大（从 n 到 m），检测速度逐渐降低，因为更大的模型通常包含更多的参数和计算操作，需要更长的推理时间。对于 FLOPs 指

标, YOLOv11m 的 FLOPs 值最高, 为 68.26G, 表明其完成一次前向推理所需的浮点运算次数最多, 计算复杂度最高; YOLOv11s 的 FLOPs 为 21.59G; 而 YOLOv11n 的 FLOPs 最低, 仅为 6.4G。综合两项指标来看, YOLOv11 模型的检测精度与计算速度呈现负相关性。YOLOv11n 在检测精度上略逊于其他版本, 但其计算复杂度低、检测速度快; 而 YOLOv11m 推理速度较慢, 但其在复杂场景下具有更高的检测精度。

表 4-2 模型检测速度对比 1

Model	FPS(1)	FLOPs(G)
YOLOv11n	41.67	6.4
YOLOv11s	36.63	21.59
YOLOv11m	31.75	68.26

三个模型的混淆矩阵如图 4-2、图 4-3、图 4-4 所示。YOLOv11n 对 S07 类别的检测效果较差, 有 33% 的错误预测情况。对 S09 类别有 6% 的误判和 6% 的漏检。对剩余标签的检测准确度都在 94% 以上。YOLOv11s 相较于 YOLOv11n, 对 S07 和 S09 两个标签的检测准确度有大幅提升, 且对所有标签的检测精度都在 94% 以上。YOLOv11m 相较于 YOLOv11n, 对各类别的检测精度近似, 没有大幅变化, 且对所有标签的检测精度也都在 94% 以上。

综合上文对三个模型在检测精度、检测速度和混淆矩阵三个方面的对比, YOLOv11n 模型检测精度最低, 但是检测速度最快, 推理过程计算量最小, 适用于对实时性要求高的场景; YOLOv11s 模型在检测精度、检测速度和计算复杂度方面取得了平衡, 适用于对实时性和精度都有一定要求的场景; YOLOv11m 模型检测精度最高, 但检测速度最慢, 计算复杂度最高, 适用于对检测精度有极高要求的场景。

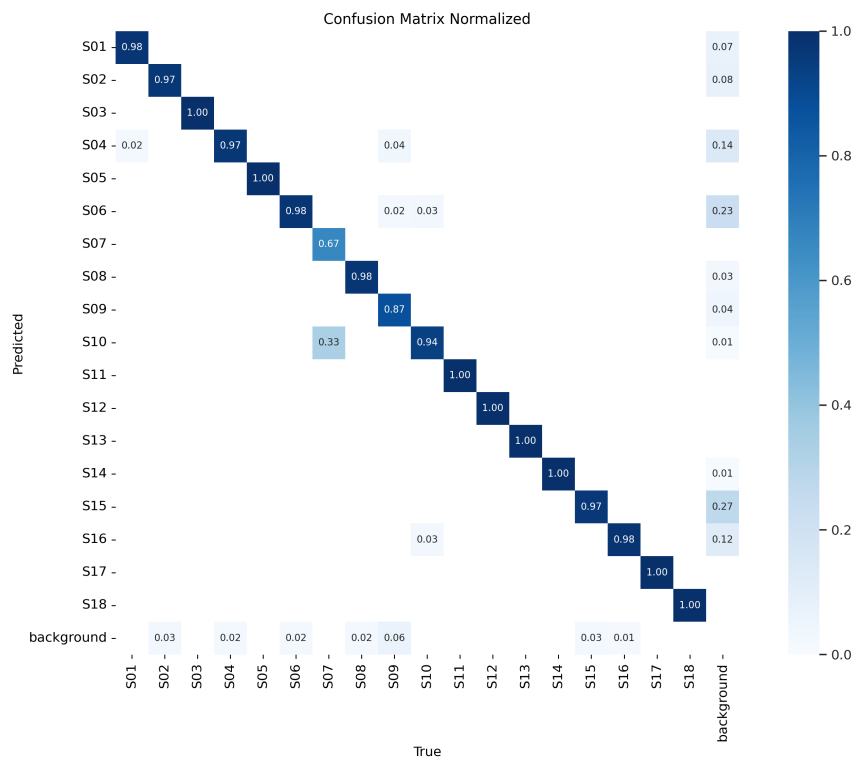


图 4-2 YOLOv11n 混淆矩阵

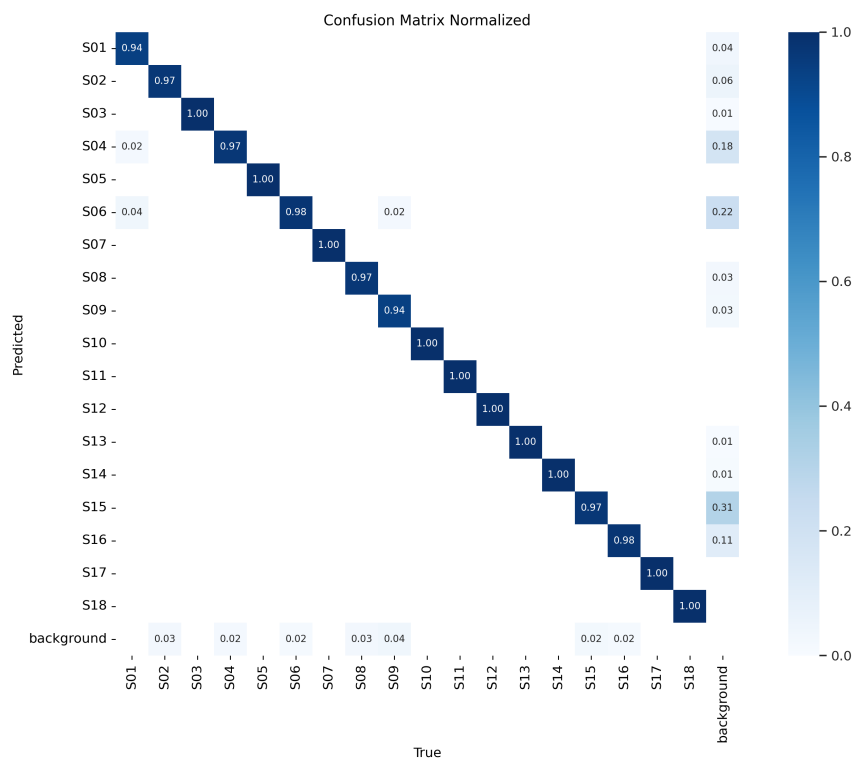


图 4-3 YOLOv11s 混淆矩阵

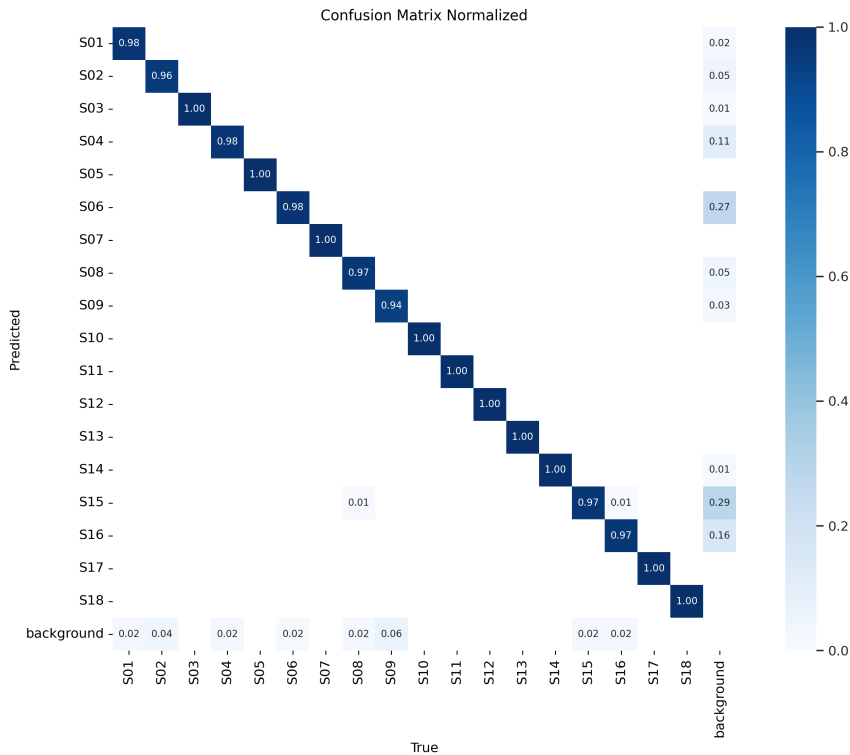


图 4-4 YOLOv11m 混淆矩阵

4.2.2 驾驶员 id 模型

本文基于 YOLOv11n、YOLOv11s 和 YOLOv11m 三个模型，各训练了 300 个 epoch，驾驶员 id 模型训练结果如图 4-5 所示。下面同样对七个检测精度指标进行详细对比分析。

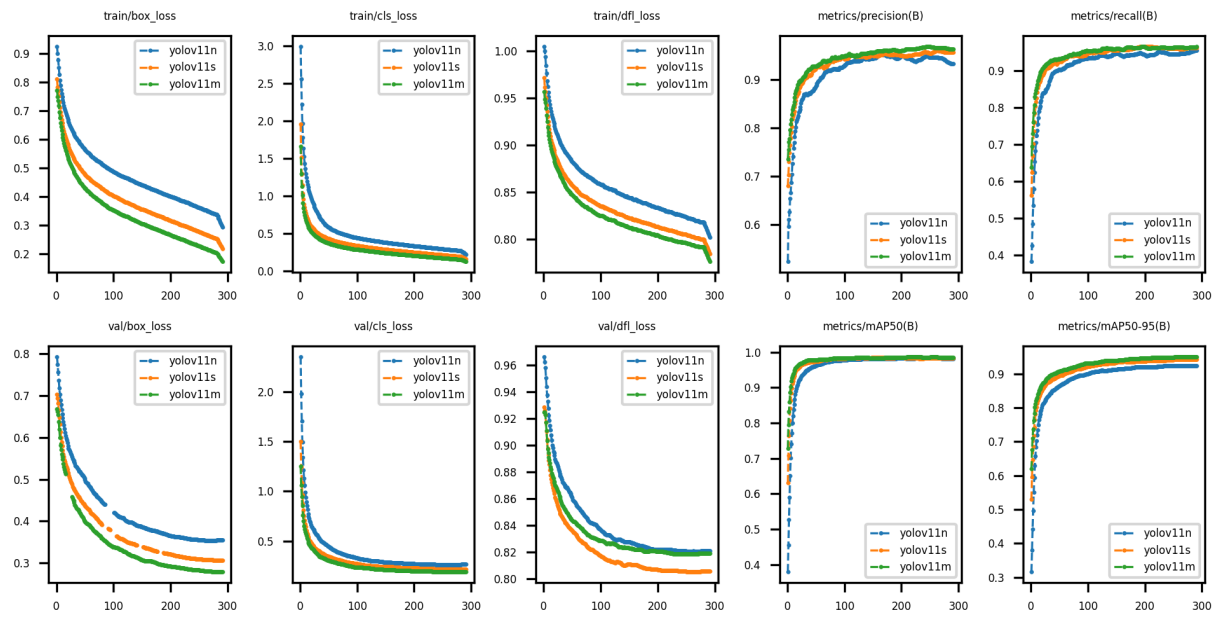


图 4-5 驾驶员 id 模型

边界框回归损失：YOLOv11s 和 YOLOv11m 两个模型的边界框回归损失在前期下降速度相较于 YOLOv11n 略快，中期以后三者下降速度相近。YOLOv11m 训练得到的边界框回归损失最优，数值最小，YOLOv11s 次之，YOLOv11n 相对较高。说明 YOLOv11m 模型预测驾驶员 id 的边界框更精确。

分类损失：YOLOv11s 和 YOLOv11m 的分类损失在前期下降较快，YOLOv11n 稍慢一些，中期以后三者下降速度近似。YOLOv11m 的分类损失值最小，其次是 YOLOv11s，YOLOv11n 的值最高。YOLOv11m 模型对驾驶员 id 的分类效果更好。

分布损失：YOLOv11m 和 YOLOv11s 的分类损失值收敛较快，YOLOv11n 收敛相对较慢。训练结束时 YOLOv11m 的分布损失值最小，效果最好，YOLOv11s 次之，YOLOv11n 的值最大。

精度：YOLOv11m 收敛速度最快，最早到达较高水平并趋于平稳。YOLOv11n 和 YOLOv11s 上升速度相对较慢。最终 YOLOv11m 达到的精度最高，其次是 YOLOv11s，YOLOv11n 的精度最低。这表明 YOLOv11m 对驾驶员 id 的预测更准确。

召回率：YOLOv11m 和 YOLOv11s 的收敛趋势近似，且都比 YOLOv11n 的收敛速度要快。YOLOv11m 和 YOLOv11s 最终的召回率相近，都比 YOLOv11n 的召回率要高。说明 YOLOv11m 和 YOLOv11n 能找到更多的正例驾驶员 id 目标。

mAP50：YOLOv11m 和 YOLOv11s 的 mAP50 值收敛趋势比较相似，都比 YOLOv11n 的收敛速度要快。最终三个模型的 mAP50 值几乎相同。

mAP50-95：YOLOv11m 的 mAP50-95 值收敛速度最快，其次是 YOLOv11s，YOLOv11n 的收敛速度最慢。训练结束时，YOLOv11m 的 mAP50-95 最高，效果最优；YOLOv11s 次之；YOLOv11n 相对较低。

将上述七个指标训练过程中的最优值进行对比如表 4-3。三个损失函数 (box_loss、cls_loss、dfl_loss) 随模型规模增大，最优值不断减小；四个精度指标 (precision、recall、mAP50、mAP50-95) 则随模型规模增大，最优值持续升高，模型检测精度随之提升。

表 4-3 模型损失函数与检测精度指标对比 2

Model	box_loss (%)	cls_loss (%)	dfl_loss (%)	Precision (%)	Recall (%)	mAP50 (%)	mAP50-95 (%)
YOLOv11n	28.5	21.9	79.9	95.6	95.8	98.3	92.5
YOLOv11s	21.0	15.7	78.2	96.1	96.7	98.7	94.3
YOLOv11m	16.6	12.4	77.3	96.9	96.9	98.7	95.0

三个模型的检测速度对比如表 4-4。随着模型规模增大，每秒处理帧数降低，实时性变差；且 FLOPs 数值增大，说明在预测中进行的浮点运算次数更多，理论上需要更长的推理时间。

表 4-4 模型检测速度对比 2

Model	FPS(1)	FLOPs(G)
YOLOv11n	67.11	7.49
YOLOv11s	66.67	22.68
YOLOv11m	55.87	70.45

综合上述对比结果，YOLOv11n 在检测驾驶员 id 场景下检测精度较低，但是检测速度最快，计算复杂度最低，适合对精度要求不是很高的实时检测场景；YOLOv11s 的检测精度和速度更加平衡，适合对精度和速度都有一定要求的场景；YOLOv11m 的检测精度最高，但是检测速度较慢，计算量最大，适合对检测精度有非常高要求的场景。

4.3 本章小结

本章首先介绍了目标检测模型检测精度和检测速度的几个重要评价指标，然后对本文进行的两个模型训练结果进行展示，对 YOLOv11n、YOLOv11s 和 YOLOv11m 三个模型的检测精度与检测速度进行了对比分析。最后得出结论，YOLOv11n 模型的检测精度低但速度快，适用于实时检测场景；YOLOv11s 模型的精度与速度平衡，适用于对两者均有要求的场景；YOLOv11m 的检测精度高但速度慢，但速度较慢，适用于对精度要求高的场景。

第5章 检测系统的设计与实现

5.1 需求分析

该系统需要为用户提供两个模块的功能，一个是头盔佩戴情况检测功能，一个是历史检测数据查询功能，本文为这两个功能各自设计并实现了前端页面。检测页面允许用户上传待检测图片或视频，并需要支持用户自定义检测模型、IoU 和置信度参数。检测完成之后，需要将带有目标边界框的结果图片返回给前端并展示在页面上，供用户查看。查询页面可供用户查询历史检测记录，允许用户对驾驶员、检测时间、检测地点等字段进行过滤。检测结果要以可视化的形式展现出来，方便用户进行数据分析。

5.2 系统整体架构

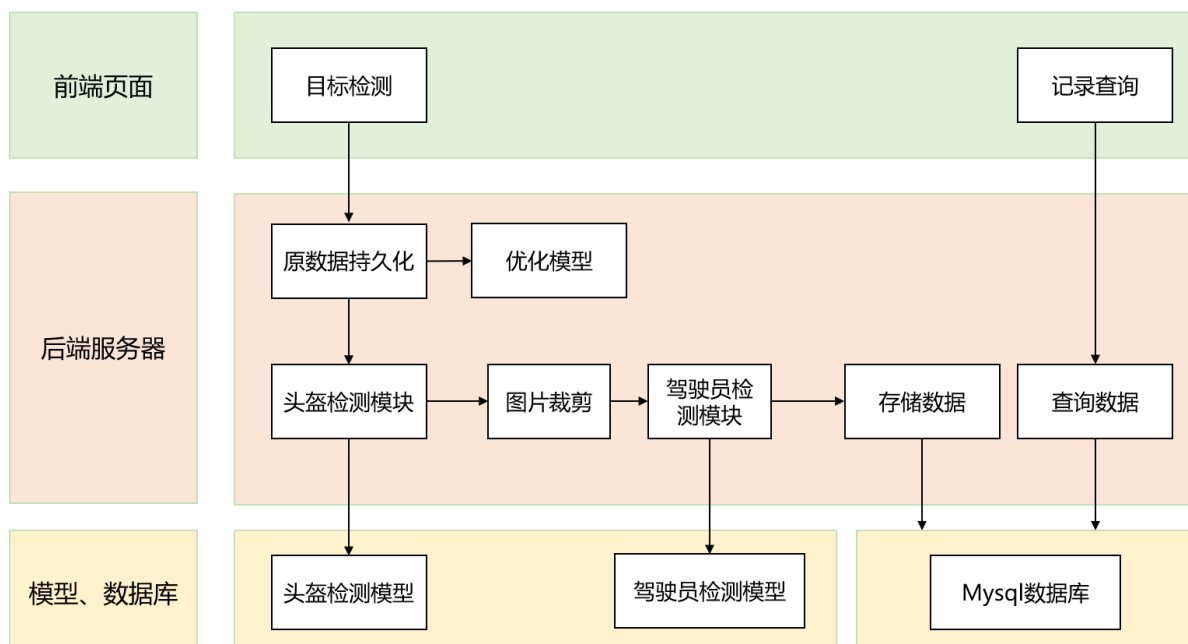


图 5-1 系统架构图

本系统整体架构如图 5-1 所示。本系统前端为用户提供目标检测和记录查询功能。目标检测界面展示后端返回的带检测框的结果并提供保存功能；记录查询界面通过 ECharts 组件以柱状图、折线图和饼图可视化展示后端查询的历史数据。

后端处理目标检测请求时：先持久化检测原数据，用于后续优化模型；再将用户传入的自定义检测模型、IoU 及置信度参数动态拼接到 python 脚本，调用训练好的头盔佩戴检测模型预测，并按边界框裁剪原数据；接着将裁剪图片作为驾驶员 id 检测模型的输入，检测驾驶员信息；最后把检测结果存至 Mysql 数据库，并将带检测框结果返回前端。

处理记录查询请求时，根据前端传来的过滤条件动态拼接 Sql 语句查询数据库。

5.3 前端模块设计与实现

前端界面分为目标检测界面和记录查询界面。两个界面都以灰、蓝色为主题色调，并且背景以及各个功能区的 CSS 样式几乎一样，使得两个页面非常协调。

5.3.1 目标检测界面

目标检测界面用例设计如图 5-2。核心用例为头盔佩戴检测，其包含上传待检测资源、选择模型，设置 IOU 和置信度、请求后端检测、浏览检测结果和保存检测结果五个子用例。上传待检测资源包含上传视频和上传图片两个子用例，支持用户上传视频和图片资源。选择模型，设置 IOU 和置信度用例允许用户选择检测模型，自定义检测 IOU 和置信度阈值。请求后端检测用例会将待检测资源和用户设置参数上传至后端服务器请求头盔佩戴检测。浏览检测结果用例会将检测结果展示在页面上供用户浏览。保存检测结果支持用户将检测结果保存到本地。

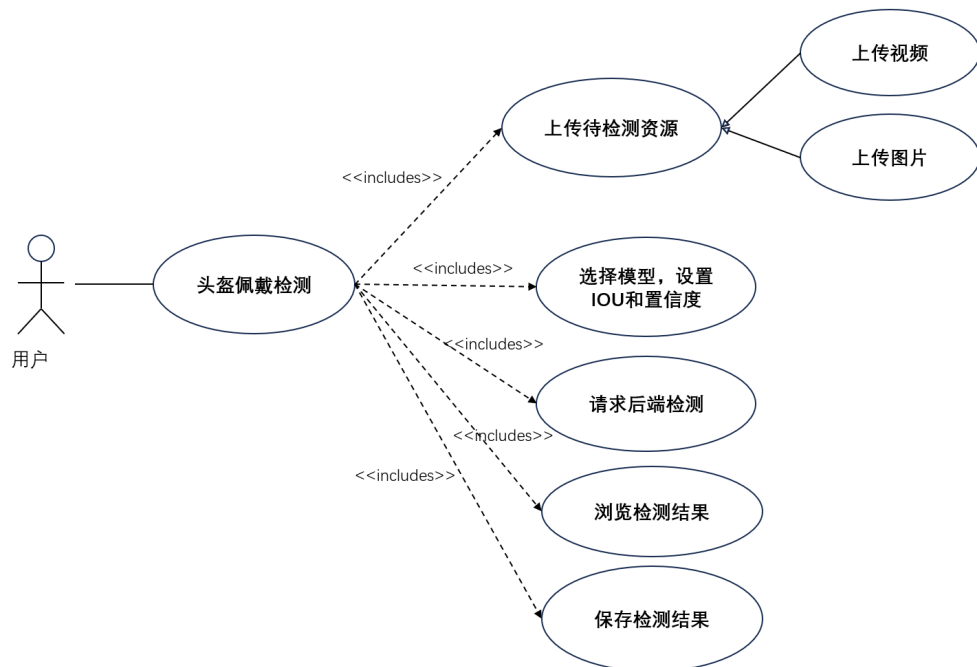


图 5-2 目标检测界面用例图

图 5-3展示了上述用例的交互顺序。用户需要先上传待检测资源，前端接收到资源后会展示在页面上。然后用户选择模型并调整参数，请求头盔佩戴检测功能。前端得到后端检测结果后，会将结果展示在页面上供用户浏览、保存。

目标检测界面的实现如图 5-4所示，核心是显示区、参数设置区、系统消息区和功能触发区。显示区用于浏览待检测资源和结果；功能触发区中，“上传图片”“上传视频”

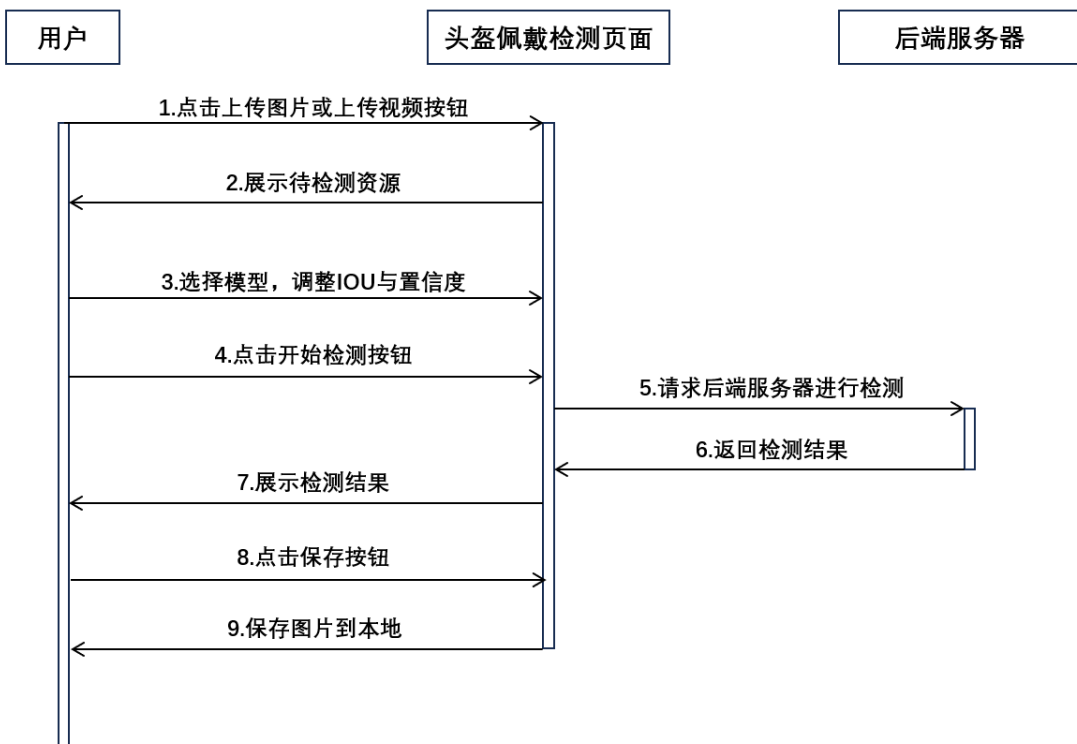


图 5-3 目标检测界面顺序图

按钮可上传待检测资源，“开始检测”按钮请求后端检测，“保存结果”按钮能将结果存至本地；参数设置区支持选择检测模型并设置 IOU 和置信度；系统消息区会展示用户操作情况。



图 5-4 目标检测界面布局

5.3.2 记录查询界面

记录查询界面用例设计如图 5-5。该页面以历史记录查询用例为核心。改用例包含设置查询过滤条件、请求后端查询和数据可视化三个子用例。设置查询过滤条件分为设置驾驶员、检测地点和检测时间三个子用例，允许用户对着三个字段设置过滤条件。请求后端查询用例会向后端发起查询请求。得到的查询结果会通过数据可视化用例通过图标的形式展示，提供了柱状图、折线图和饼图三种实现方式。

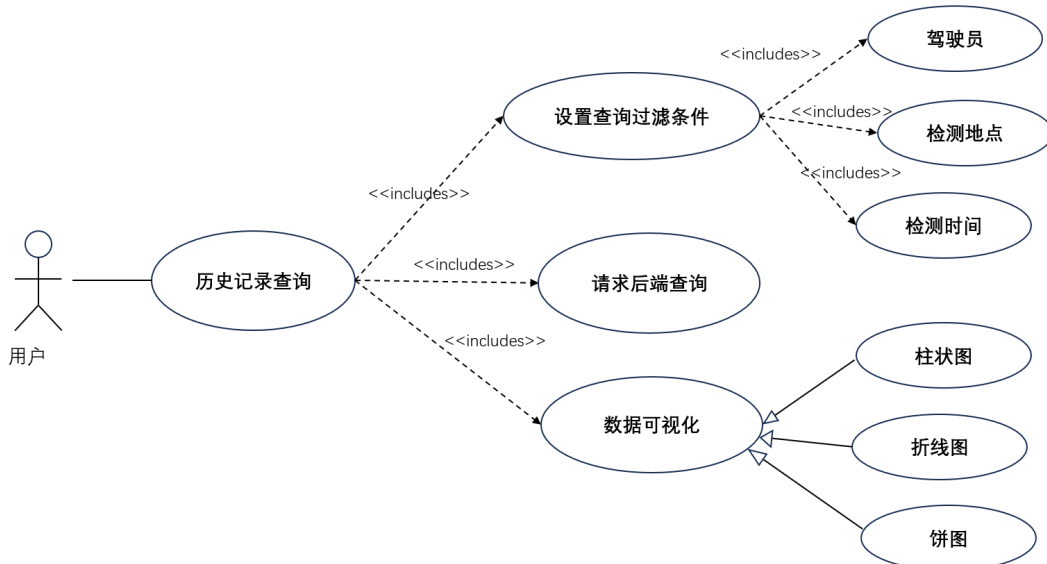


图 5-5 记录查询界面用例图

该页面的顺序图为图 5-6。用户需要先对驾驶员、检测地点和检测时间这三个字段设置查询过滤条件，不设置则认为不对该字段进行过滤，然后点击搜索按钮，前端页面会附带过滤条件向后端服务器发起查询请求。查询结果返回后，默认会展示柱状图类型的可视化图标，用户可以点击不同的图标类型选择不同的数据可视化方式。

记录查询界面的实现见图 5-7。用户通过记录查询区设置过滤条件并发起查询请求，查询结果会在数据可视化区以图标的形式展示，并允许用户选择不同的可视化方式。

5.4 后端模块设计与实现

后端模块在框架上选用 SpringBoot 进行开发。为了便于系统的迭代和维护，在架构上选择 MVC 三层架构，即 Controller 层、Service 层和 Dao 层。该系统主要分为两个模块：检测模块和搜索模块，负责实现前端页面提供的两大功能。

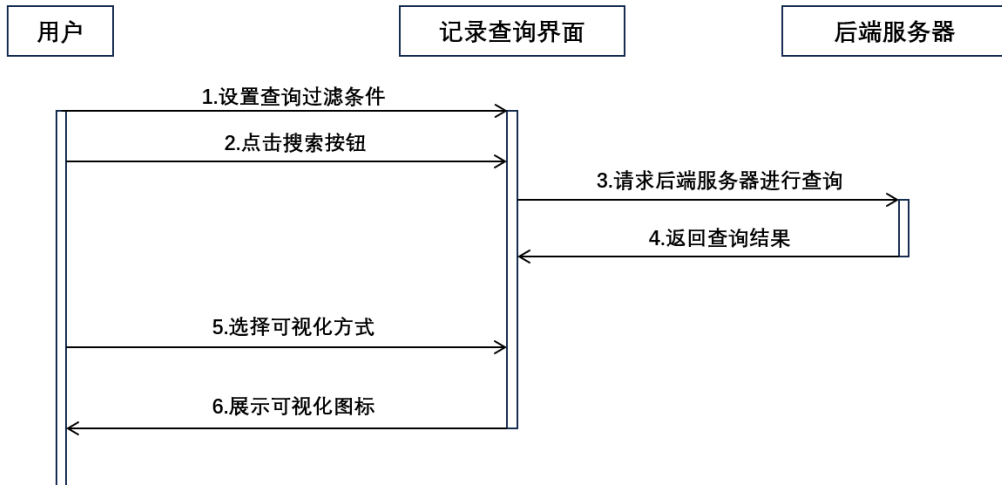


图 5-6 记录查询界面顺序图



图 5-7 记录查询界面布局

5.4.1 库表结构

该系统使用的库表结构如表 5-1 所示。该表共有五个字段，除主键 id 外，记录了驾驶员信息、头盔佩戴情况、检测地区和检测时间。头盔佩戴情况在库表里面是以整型的方式记录的，节省空间且信息更加简洁，后端会对 label 和该字段的整型值做转换。由于在查询过程中，经常会对驾驶员信息和头盔佩戴情况这两个字段过滤，所以在设计的时候对这两个字段都创建了索引。

表 5-1 数据库表字段设计

字段	数据类型	说明	索引
id	int	主键 id	主键索引
driver	varchar	驾驶员	普通索引
detect_location	varchar	检测地区	普通索引
helmet	int	头盔佩戴情况	无
detect_time	datetime	检测时间	无

5.4.2 检测模块

后端检测模块的用例设计如图 5-8。该模块的核心用例是检测头盔佩戴，其包含保存待测资源、检测头盔佩戴情况、检测驾驶员 id 和返回结果四个子用例。保存待测资源会将用户上传的图片或视频保存到本地磁盘；检测头盔佩戴用例将调用模型对上述资源进行预测；检测驾驶员 id 包含两个子用例，首先调用驾驶员 id 模型进行检测，然后将检测结果保存到数据库；最后将检测结果返回给前端。

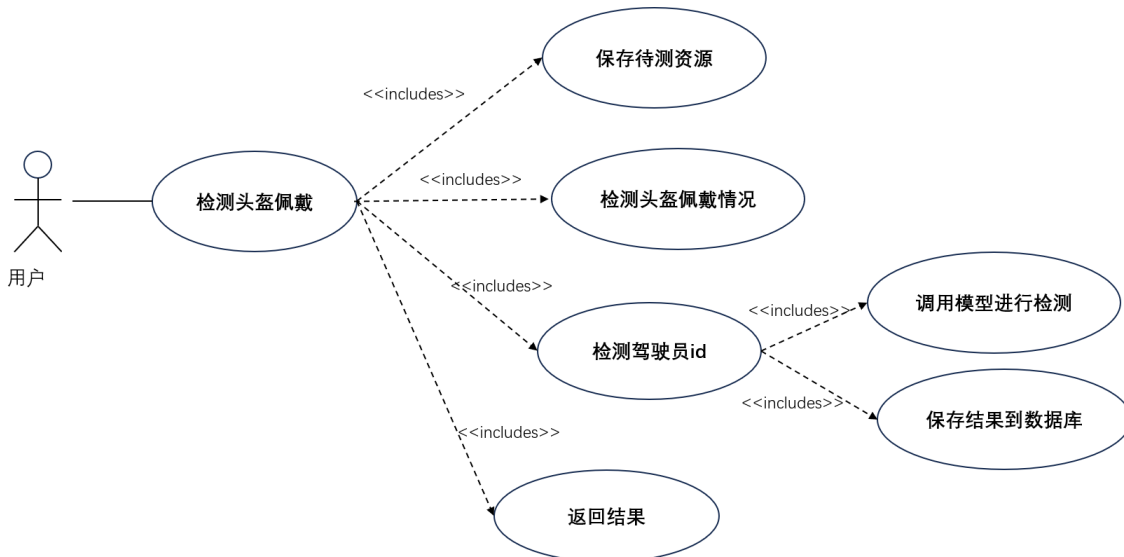


图 5-8 后端检测模块用例图

该模块执行顺序图如图 5-9。首先前端页面会上传待测资源到后端，后端将资源保存到本地磁盘，然后调用模型检测头盔佩戴情况，将检测结果保存到本地磁盘，再调用第二个模型检测驾驶员 id，将包含头盔佩戴情况、驾驶员以及检测时间等完整信息保存到数据库，最后返回检测结果图片或视频给前端用户。

该模块类图如图 5-10 所示，主要由 DetectServiceImpl、ImageDTO 和 Detection 三个类构成。ImageDTO 类存储了用户输入的待检测资源和自定义检测模型、IOU 和置信度四个参数。DetectServiceImpl 的公共方法 detect 接收 ImageDTO 参数，其余私有方法分别

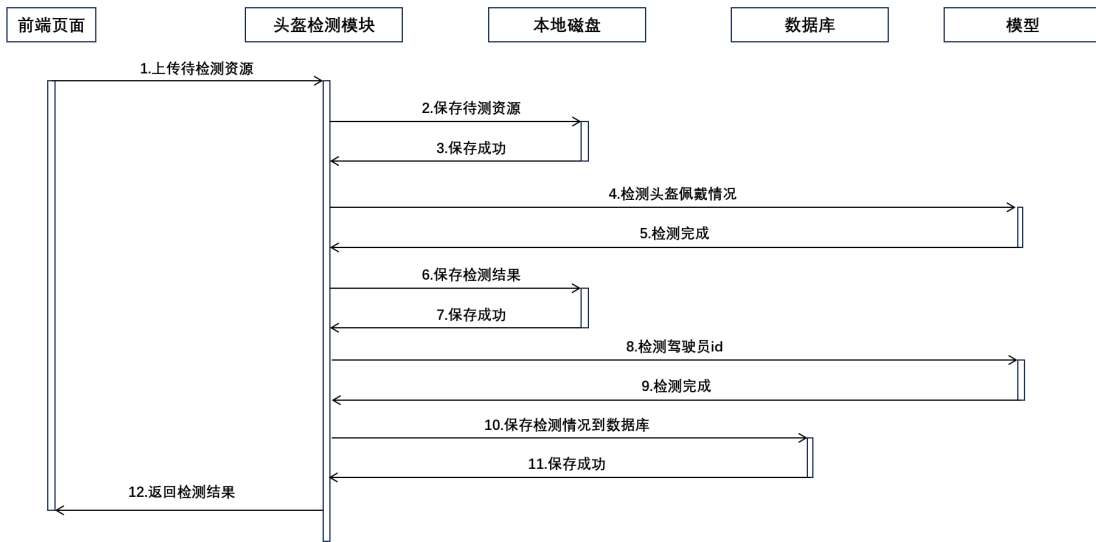


图 5-9 后端检测模块顺序图

负责保存待测资源、检测头盔佩戴、检测驾驶员 id、保存检测结果和构建返回结果，如果当前是视频资源，还会将格式从 avi 转换为 mp4。DetectServiceImpl 关联的 Detection 类作为 saveDetectResult() 方法的输入参数，负责保存检测结果，包括主键 id、驾驶员、头盔佩戴情况、检测地点和检测时间五个属性。

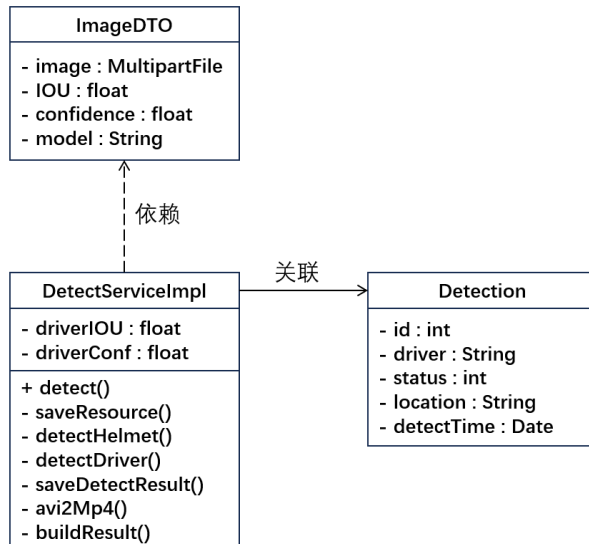


图 5-10 后端检测模块类图

5.4.3 搜索模块

后端搜索模块的用例图如图 5-11。该模块的核心用例是查询历史记录。其包含查询数据库、构建可视化图表数据格式和返回结果三个子用例。查询数据库包含获取过滤条件和执行 sql 语句两个子用例，这一步可以将用户需要的数据从数据库查询出来。构建三种可视化图表特定的数据格式，支持前端进行数据可视化。最后返回查询结果。

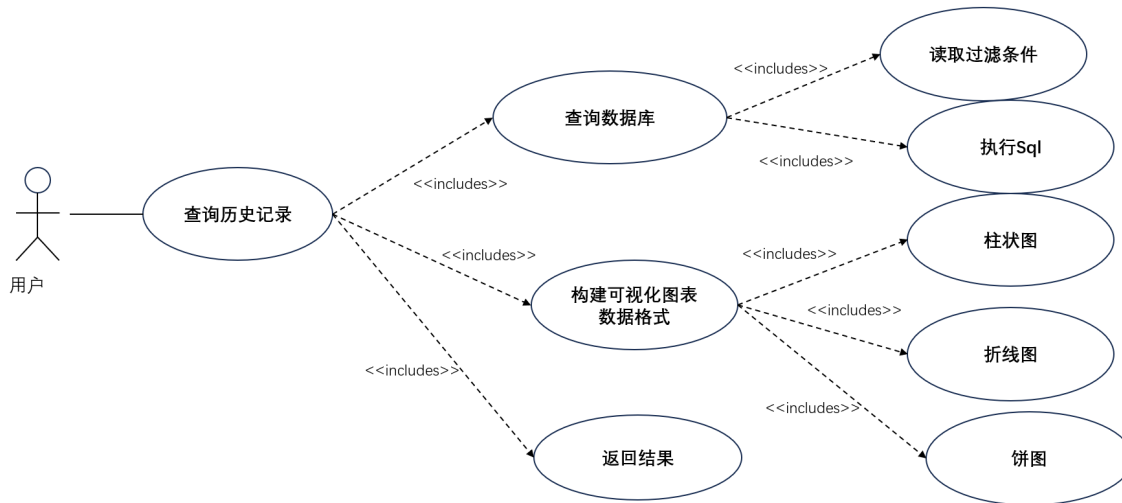


图 5-11 后端搜索模块用例图

该模块的顺序图如图 5-12 所示。用户通过前端页面发起查询请求，该模块将过滤条件拼接到 sql 语句中去查询 Mysql 中的数据，然后将查询数据构建成可视化图表要求的格式，最后返回给前端页面。

搜索模块的类图见图 5-13，包含 SearchServiceImpl、SearchDTO 和 Detection 三个类。SearchDTO 作为 search 方法的输入参数，包含了用户自定义的过滤条件，包括对驾驶员、检测地点和检测时间这三个字段的过滤，对应用户在前端页面输入的过滤值。SearchServiceImpl 的 search 方法负责根据过滤条件从数据库中搜索历史检测记录，用 Detection 类接收返回值。transform 方法以查询出来的 Detection 结果集为输入，转换为可视化图表需要的特定数据格式。

5.5 本章小结

本章首先对基于 Vue 和 SpringBoot 框架的摩托车驾乘人员头盔佩戴检测系统进行需求分析，然后通过用例图、顺序图和类图介绍了前端和后端各个模块的设计思路与具体实现。

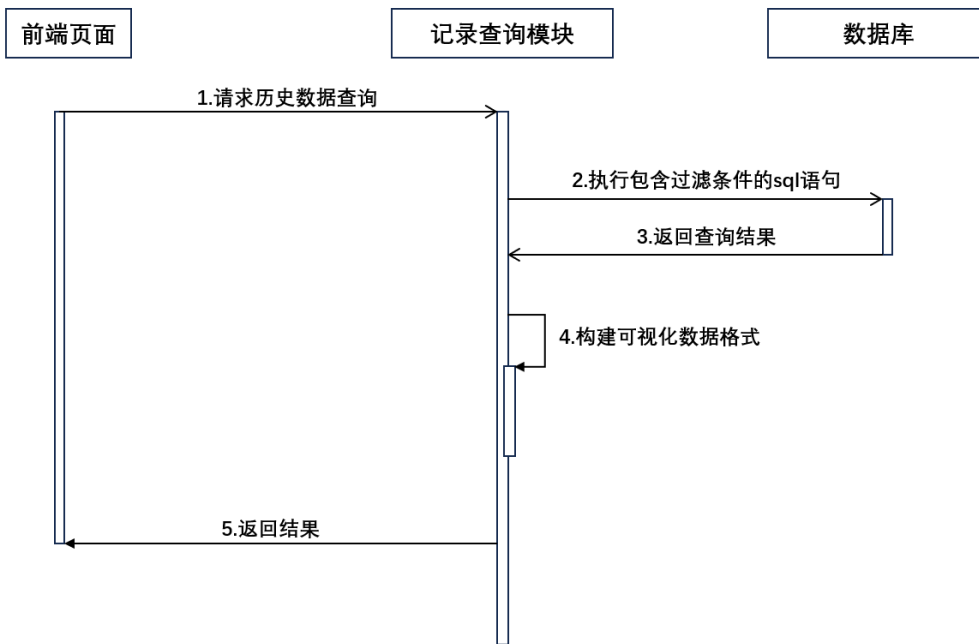


图 5-12 后端搜索模块顺序图

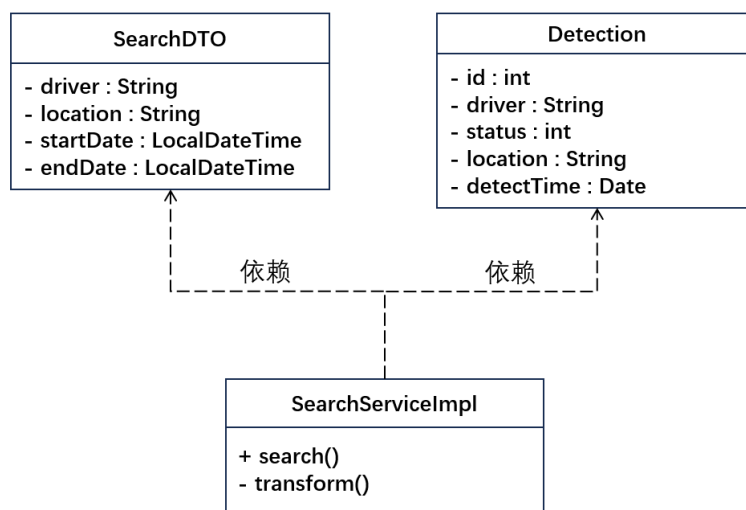


图 5-13 后端搜索模块类图

第6章 总结与展望

6.1 本文工作总结

本文基于 YOLOv11 算法，针对摩托车驾乘人员头盔佩戴数据集训练了两个模型：头盔佩戴情况检测模型和驾驶员检测模型，设计并实现了一套高效的检测系统，能够帮助执法人员减少人工工作量，提高检测精度，推动交通执法向智能化方向发展。

在数据集构建过程中，对原始数据进行了细致处理，通过对原样本数据做图像增强保证每个类别和驾驶员都有足够数量的样本图片，以 7:2:1 的比例划分训练集、验证集和测试集，正确评估模型的性能。

本文基于 YOLOv11n、YOLOv11s 和 YOLOv11m 三个不同权重的模型进行了训练并分析了结果。实验表明，三个模型在精度上都表现出色，均在 96% 以上，YOLOv11m 的精度最高，达到了 97.3%。召回率也都在 96% 以上，且也是 YOLOv11m 的召回率最高，为 98.1%。三个模型的 mAP50 值几乎一致，但 mAP50-95 指标 YOLOv11 和 YOLOv11m 最好，说明这两个模型在更严格的 IoU 阈值下性能更好。三个模型的检测速度从 YOLOv11n、YOLOv11s 到 YOLOv11m 依次变慢。可以得出结论，如果追求高检测速度，YOLOv11n 模型是比较好的选择；如果要求严格的检测精度，YOLOv11m 更合适，但是会牺牲一些检测速度；YOLOv11s 是介于以上两个模型之间比较适中的选择。

本文基于 SpringBoot 和 Vue 框架设计并开发了前后端分离的系统。前端为用户提供了简洁美观的操作界面，包括目标检测界面和记录查询界面；后端则高效处理前端请求，完成图片或视频的检测、驾驶员信息识别以及结果存储等功能。同时，系统支持用户自定义检测模型、IoU 和置信度参数，历史检测结果可通过多种可视化图表呈现，满足了交管部门对数据的分析需求。

6.2 研究展望

随着科技的不断发展，目标检测技术在智能交通领域将迎来更广阔的发展空间。尽管 YOLOv11 模型在本文中表现优秀，但也存在着提升空间。在模型性能方面，可以引入注意力机制、自监督学习等技术，增强模型对复杂场景和小目标的检测能力。在数据集方面，未来可收集更多不同场景下的摩托车驾乘人员数据，包括不同天气条件、不同光照环境、不同地域的交通数据等，增强模型的泛化能力。

本文主要研究了摩托车驾乘人员头盔佩戴情况的检测系统，未来可将其拓展到其他领域，如汽车安全带佩戴检测、机动车违规行为检测等。同时，还可以与智能交通系统的其他模块（如交通流量监测、违章行为自动抓拍等）进行深度融合，为城市交通管理提供更全面、高效的解决方案，助力智能交通系统的发展。

参考文献

- 侯帅帅, 欧秀丽. 2023. 摩托车头盔产品质量安全风险分析. 质量与认证, (09): 91~92.
- 秦乐, 谭泽富, 雷国平, 陈秋伯. 2025. EMF-YOLO: 轻量化多尺度特征提取路面缺陷检测算法. 计算机工程与应用, 1~12.
- 袁婷婷, 赖惠成, 汤静雯, 张晞, 高古学. 2025. LMFI-YOLO: 复杂场景下的轻量化行人检测算法. 计算机工程与应用, 1~15.
- 张浩晨, 张竹林, 史瑞岩, 王文翰, 雷镇诺. 2025. YOLO-CDC: 优化改进 YOLOv8 的车辆目标检测算法. 计算机工程与应用, 1~15.
- Bochkovskiy A, Wang C.-Y, Liao H.-Y M. 2020. YOLOv4: Optimal Speed and Accuracy of Object Detection. *arXiv:2004.10934*,
- Dalal N, Triggs B. 2005. Histograms of Oriented Gradients for Human Detection. In: IEEE CVPR: 886–893.
- Felzenszwalb P F, Girshick R B, McAllester D. 2010. Cascade Object Detection with Deformable Part Models. In: IEEE CVPR: 2241–2248.
- Felzenszwalb P F, McAllester D, Ramanan D. 2008. A Discriminatively Trained, Multiscale, Deformable Part Model. In: IEEE CVPR: 1–8.
- Girshick R, Donahue J, Darrell T, Malik J. 2014. Rich Feature Hierarchies for Accurate Object Detection and Semantic Segmentation. In: Proceedings of the IEEE Conference on Computer Vision and Pattern Recognition: 580–587.
- Girshick R B. 2015. Fast R-CNN. *CoRR*, abs/1504.08083.
- He K, Zhang X, Ren S, 0001 J S. 2014. Spatial Pyramid Pooling in Deep Convolutional Networks for Visual Recognition. *CoRR*, abs/1406.4729.
- Krizhevsky A, Sutskever I, Hinton G E. 2012. ImageNet Classification with Deep Convolutional Neural Networks. *ImageNet Large Scale Visual Recognition Challenge*,
- Li C, Li L, Jiang H, Weng K, Wang Y. 2022. YOLOv6: A Single-Stage Object Detection Framework for Industrial Applications. Meituan (美团)url+urldate.
- Raza N, Habib M A, Ahmad M, Abbas Q, Aldajani M B, Latif M A. 2024. Efficient and Cost-Effective Vehicle Detection in Foggy Weather for Edge/Fog-Enabled Traffic Surveillance and Collision Avoidance Systems. *Computers, Materials & Continua*, 81(1): 911–931.
- Redmon J, Divvala S, Girshick R, Farhadi A. 2016. You Only Look Once: Unified, Real-Time Object Detection. In: IEEE CVPR: 779–788.
- Redmon J, Farhadi A. 2017. YOLO9000: Better, Faster, Stronger. In: IEEE CVPR: 6517–6525.
- Redmon J, Farhadi A. 2018. YOLOv3: An Incremental Improvement. *arXiv:1804.02767*,
- Ren S, He K, Girshick R, Sun J. 2015. Faster R-CNN: Towards Real-Time Object Detection with Region Proposal Networks. In: NeurIPS: 91–99.

- Uijlings J R R, Sande K E A, Gevers T, Smeulders A W M. 2013. Selective Search for Object Recognition. *International Journal of Computer Vision*, 104(2): 154–171.
- Viola P, Jones M. 2001. Rapid Object Detection using a Boosted Cascade of Simple Features. In: Proceedings of the IEEE Conference on Computer Vision and Pattern Recognition (CVPR): vol. 1. IEEE Computer Society: 511–518.
- Wang C.-Y, Bochkovskiy A, Liao H.-Y M. 2022. YOLOv7: Trainable Bag-of-Freebies Sets New State-of-the-Art for Real-Time Object Detectors. *arXiv preprint arXiv:2207.02696*, arXiv: [2207.02696 \[cs.CV\]](https://arxiv.org/abs/2207.02696) <https://arxiv.org/abs/2207.02696>.
- Wang C.-Y, Bochkovskiy A, Liao H.-Y M. 2024a. YOLOv10: Real-Time End-to-End Object Detection with Enhanced Efficiency-Accuracy Tradeoff. *arXiv:2405.xxxxx*,
- Wang C.-Y, Bochkovskiy A, Liao H.-Y M. 2024b. YOLOv9: Learning What You Want to Learn Using Programmable Gradient Information. *arXiv:2402.13616*,
- Wang F, Yang X, Wei J. 2024. YOLO-ESL: An Enhanced Pedestrian Recognition Network Based on YOLO. *Applied Sciences*, 14(20): 9588–9588.

致 谢

行文至此，我的论文已经接近尾声，也意味着我在西北农林科技大学四年的校园生活将要结束，即将踏上新的旅途。回首这段时光，心中满是怀念与感慨，有太多人需要感谢。

感谢我的导师耿耀君老师在毕业设计上对我的悉心指导。从论文的选题、开题到初稿、修改，再到最终定稿，导师始终给予我悉心的指导和耐心的帮助，提供宝贵的建议。耿耀君老师严谨的治学态度和敬业的工作精神，让我不仅在学术上有所收获，更在为人处世方面深受教诲。

感谢我的大学室友、同学和所有朋友，在我因学业压力陷入情绪低谷的时候帮我排忧解难；在我因面试失败怀疑自己的时候帮我重振信心；在我因感冒发烧身体不适的时候帮我买药带饭。因为有你们，我的大学生活更加值得怀念。

感谢父亲、母亲、爷爷、奶奶和其他家人，在我学习和求职路上的鼓励，以及在生活上无微不至的关怀。每一份支持都让我更加有动力，朝着更好的未来前进。

最后感谢各位评审老师在百忙之中审阅论文并提出宝贵意见。

姜明宇

二〇二五年五月于 杨凌